

La matrice CKM: fenomenologie e origine teorica
misura dei suoi elementi

Particelle elementari conosciute e scoperte

u	c	t
d	s	b
ν_e	ν_μ	ν_τ
e^-	μ^-	τ^-

u Pioni π^+ π^- π^0

d Lattes, Occhialini, Powell 1947
raggi cosmici ad alta quota

c Scoperta della J/ψ 1974

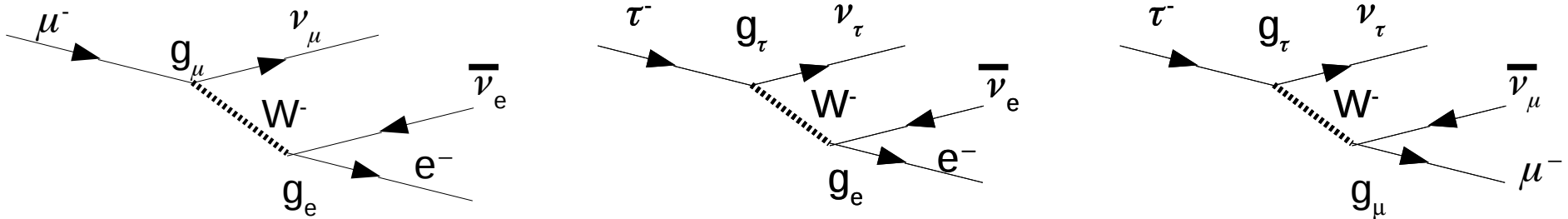
s Particelle strane mesoni K e
barioni Λ , Σ (1947) raggi cosmici
in camera a nebbia.

b Scoperta della Υ 1974 Fermilab
E288

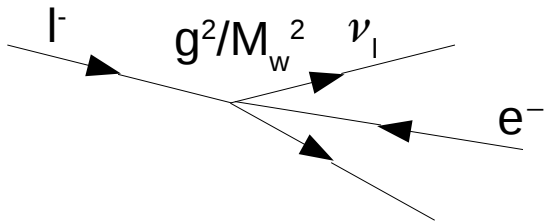
t Scoperta del top 1995 CDF

Angolo di Cabibbo 1 (decadimenti dei leptoni)

Decadimenti deboli dei leptoni:



Essendo: $m_e \ll m_\mu \ll m_\tau \ll m_W$, il propagatore del W $\frac{1}{q^2 - m_W^2} \sim \frac{1}{m_W^2}$



$$g^2/M_W^2 = 8G_F/\sqrt{2}$$

$$\Gamma(\mu^- \rightarrow e^- \nu \bar{\nu}) = \frac{G_{F\mu e}^2 m_\mu^5}{192\pi^3}$$

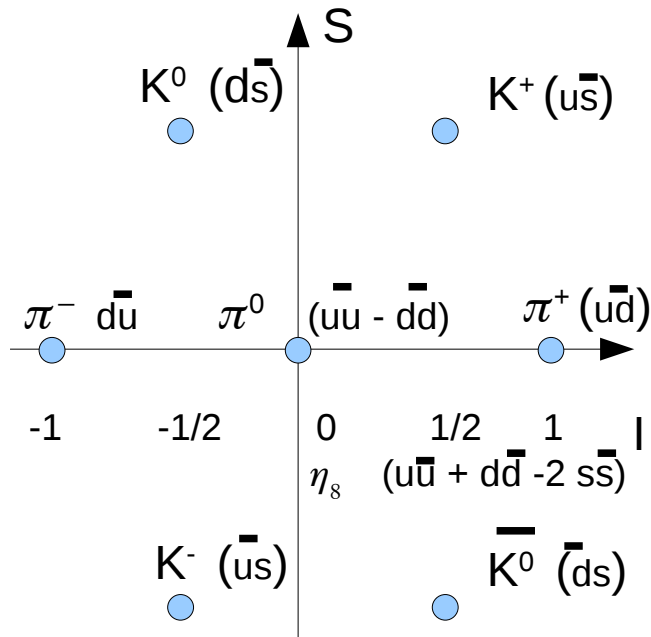
$$\Gamma(\tau^- \rightarrow e^- \nu \bar{\nu}) = \frac{G_{F\tau e}^2 m_\tau^5}{192\pi^3}$$

$$\Gamma(\tau^- \rightarrow \mu^- \nu \bar{\nu}) = \frac{G_{F\tau\mu}^2 m_\tau^5}{192\pi^3}$$

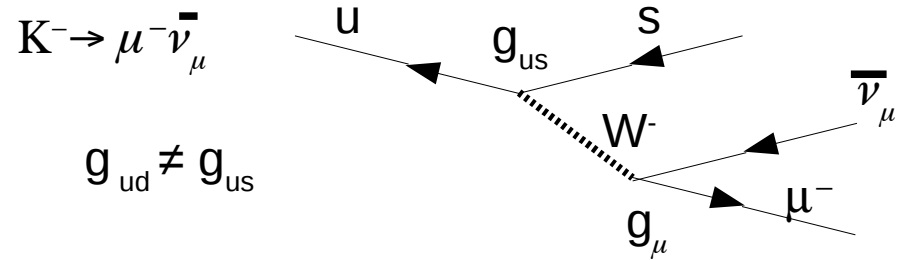
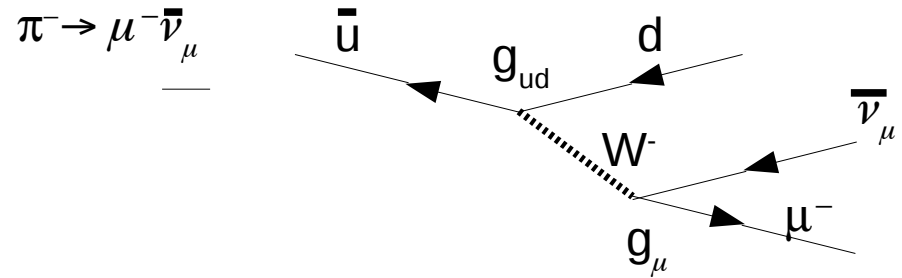
Sperimentalmente si trova $G_{F\tau e}^2 = G_{F\tau\mu}^2 = G_{F\mu e}^2$ Universalità leptonica: $g_\mu = g_e = g_\tau$

Angolo di Cabibbo 2 (decadimenti dei mesoni)

Modello a quark e nonetto mesonico



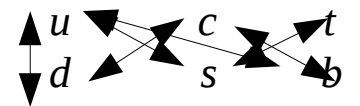
Decadimenti deboli



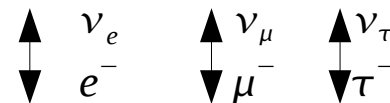
1964 Ipotesi di Cabibbo:
l'interazione debole è la stessa per quarks e leptoni: $g_{ud}^2 + g_{us}^2 = g_\mu^2 = g^2$

$$g_{ud} = g \cos \theta_c$$

$$g_{us} = g \sin \theta_c$$



Transizioni tra quarks



Transizioni leptoniche

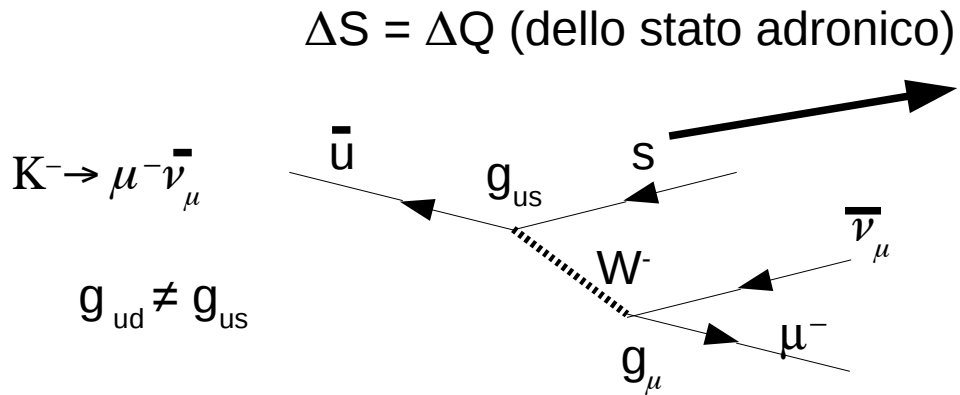
Universalità:

$$g_{ud}^2 + g_{us}^2 + g_{ub}^2 = 1$$

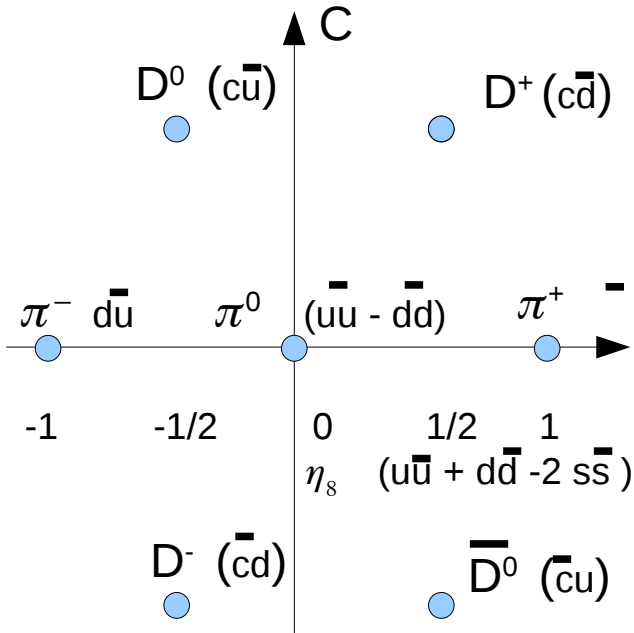
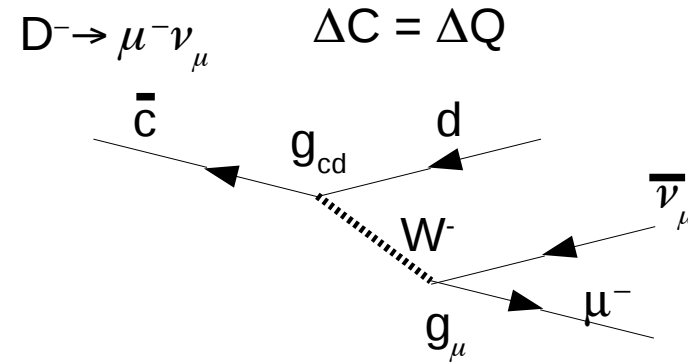
$$g_{cd}^2 + g_{cs}^2 + g_{cb}^2 = 1$$

$$g_{td}^2 + g_{ts}^2 + g_{tb}^2 = 1$$

Angolo di Cabibbo e variazione di sapore in corrente neutra.



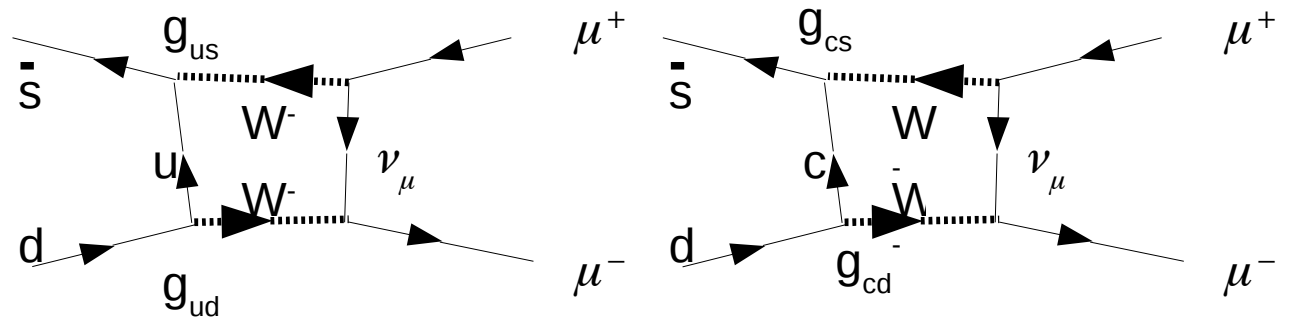
In corrente carica un decadimento debole di particelle con sapore è sempre accompagnato da variazione di sapore.



Tuttavia processi in corrente neutra con cambio di sapore possono avvenire ad 1 loop:

$Br(K^0 \rightarrow \mu^+ \mu^-) = 10^{-9}$

$\Delta S = -1, \Delta Q = 0$



Nel limite $m_u < m_c \ll m_W$

Possiamo avere una cancellazione se: $g_{ud} * g_{us} = - g_{cd} * g_{cs}$

Matrice di Cabibbo:

$$\begin{pmatrix} g_{ud} & g_{us} \\ g_{cd} & g_{cs} \end{pmatrix}$$

Universalità:

$$g_{ud}^2 + g_{us}^2 = 1$$

$$g_{cd}^2 + g_{cs}^2 = 1$$

$$g_{ud} = \cos\theta_C \quad g_{us} = \sin\theta_C$$

$$g_{cd} = \sin\theta_x \quad g_{cs} = \cos\theta_x$$

Soppressione di FCNC:

$$g_{ud} * g_{us} = -g_{cd} * g_{cs}$$

$$\cos\theta_C * \sin\theta_C = -\sin\theta_x \cos\theta_x$$

(Flavour Changing in Neutral Currents)

$$\sin(2\theta_C) = \sin(-2\theta_x) \rightarrow \theta_x = -\theta_C$$

$$\begin{pmatrix} \cos\theta & \sin\theta \\ -\sin\theta & \cos\theta \end{pmatrix}$$

Condizioni di ortogonalità della matrice.

$$R * R^T = 1 \quad \begin{pmatrix} a & b \\ c & d \end{pmatrix} \cdot \begin{pmatrix} a & c \\ b & d \end{pmatrix} = \begin{pmatrix} a^2 + b^2 & ac + bd \\ ca + db & c^2 + d^2 \end{pmatrix} = \begin{pmatrix} 1 & 0 \\ 0 & 1 \end{pmatrix}$$

4 parametri, 3 condizioni → dipendenza da un solo parametro.

Formulazione lagrangiana:

$J^\mu = (\bar{u} \bar{c} \bar{t}) \frac{\gamma^\mu (1-\gamma^5)}{2} V_{CKM} \begin{pmatrix} d \\ s \\ b \end{pmatrix}$
 $J^\nu = (\bar{\nu}_e \bar{\nu}_\mu \bar{\nu}_\tau) \frac{\gamma^\nu (1-\gamma^5)}{2} \begin{pmatrix} e \\ \mu \\ \tau \end{pmatrix}$

d,s,b,u,c,t
(spinori di Dirac a 4 componenti)

Distrugge d,s,b crea u,c,t

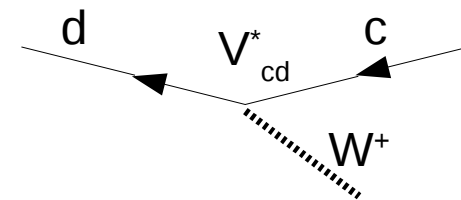
propagatore

$$M = J^\mu J^{\nu\dagger} g_{\mu\nu} / M^2$$

$$\frac{i(-g_{\mu\nu} + p^\mu p^\nu / M^2)}{p^2 - M^2} \xrightarrow{p \ll M} \frac{i g_{\mu\nu}}{M^2}$$

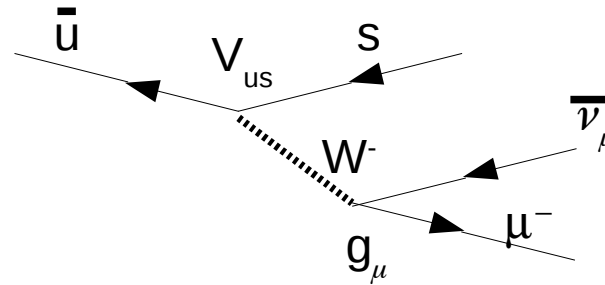
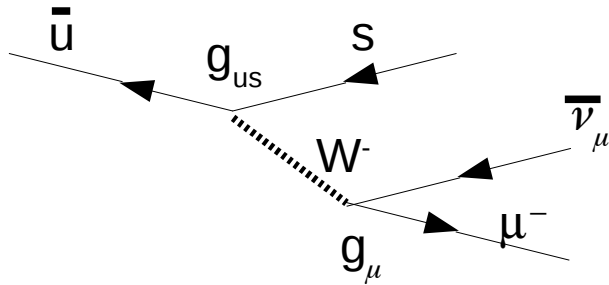
L'hamiltoniana deve essere Hermitiana, quindi deve contenere anche termini $J^{\mu\dagger}$

$$\begin{aligned}
 J^{\mu\dagger} &= \left[(\bar{u} \bar{c} \bar{t}) \frac{\gamma^\mu (1-\gamma^5)}{2} V_{CKM} \begin{pmatrix} d \\ s \\ b \end{pmatrix} \right]^\dagger = (d s b)^\dagger \frac{(1-\gamma^5)^\dagger \gamma^{\mu\dagger}}{2} V_{CKM}^\dagger \begin{pmatrix} u \\ c \\ t \end{pmatrix} = d^\dagger \frac{(1-\gamma^5)^\dagger \gamma^{\mu\dagger}}{2} V_{ud}^* \bar{u}^\dagger + \dots = d^\dagger \frac{(1-\gamma^5)^\dagger \gamma^{\mu\dagger}}{2} V_{ud}^* (u^\dagger \gamma^0)^\dagger + \dots \\
 &= d^\dagger \frac{(1-\gamma^5)^\dagger \gamma^0 \gamma^\mu \gamma^0}{2} V_{ud}^* (u^\dagger \gamma^0)^\dagger + \dots = d^\dagger \gamma^0 \frac{(1+\gamma^5)^\dagger \gamma^\mu \gamma^0}{2} V_{ud}^* \gamma^0 u + \dots = \bar{d} \frac{\gamma^\mu (1-\gamma^5)}{2} V_{ud}^* \gamma^{02} u + \dots = (\bar{d} \bar{s} \bar{b}) \frac{\gamma^\mu (1-\gamma^5)}{2} V_{CKM}^\dagger \begin{pmatrix} u \\ c \\ t \end{pmatrix}
 \end{aligned}$$



Universalità:

$$G \sim |M|^2 \sim |V_{us}|^2$$



$$g_{ud}^2 + g_{us}^2 + g_{ub}^2 = 1$$

$$g_{cd}^2 + g_{cs}^2 + g_{cb}^2 = 1$$

$$g_{td}^2 + g_{ts}^2 + g_{tb}^2 = 1$$

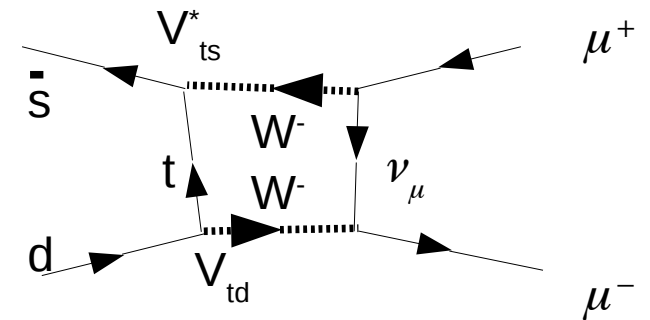
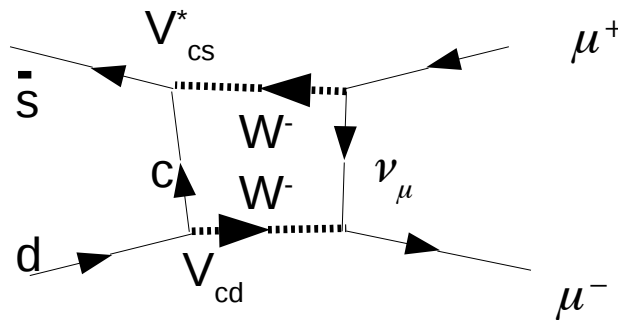
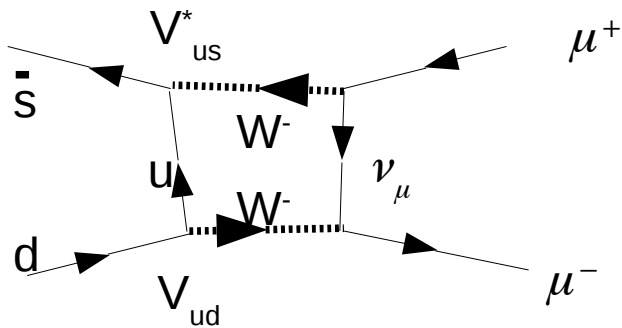


$$|V_{ud}|^2 + |V_{us}|^2 + |V_{ub}|^2 = 1$$

$$|V_{cd}|^2 + |V_{cs}|^2 + |V_{cb}|^2 = 1$$

$$|V_{td}|^2 + |V_{ts}|^2 + |V_{tb}|^2 = 1$$

Soppressione di FCNC



$$V_{ud}^* V_{us}^* + V_{cd}^* V_{cs}^* + V_{td}^* V_{ts}^* = 0$$

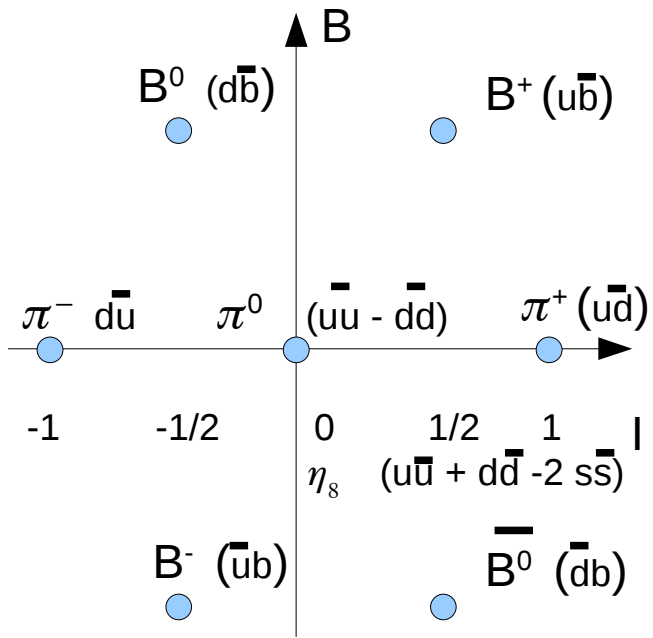
Richiedendo che la soppressione valga per tutte le famiglie:

$$D^0 \rightarrow \mu^+ \mu^-, B^0 \rightarrow \mu^+ \mu^-, B_s^0 \rightarrow \mu^+ \mu^-$$

$$V_{ub}^* V_{ud}^* + V_{cb}^* V_{cd}^* + V_{tb}^* V_{td}^* = 0$$

$$V_{ub}^* V_{us}^* + V_{cb}^* V_{cs}^* + V_{tb}^* V_{ts}^* = 0$$

I mesoni B S = 0



I mesoni B strani



I mesoni C strani



I mesoni B charmati



CKM e unitarietà

$$V_{CKM} = \begin{pmatrix} V_{ud} & V_{us} & V_{ub} \\ V_{cd} & V_{cs} & V_{cb} \\ V_{td} & V_{ts} & V_{tb} \end{pmatrix}$$

$$|V_{ud}|^2 + |V_{us}|^2 + |V_{ub}|^2 = 1$$

$$|V_{cd}|^2 + |V_{cs}|^2 + |V_{cb}|^2 = 1$$

$$|V_{td}|^2 + |V_{ts}|^2 + |V_{tb}|^2 = 1$$

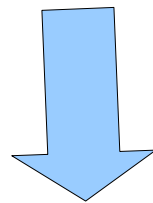
Universalità

$$V_{ud}^* V_{us} + V_{cd}^* V_{cs} + V_{td}^* V_{ts} = 0$$

$$V_{ub}^* V_{ud} + V_{cb}^* V_{cd} + V_{tb}^* V_{td} = 0$$

FCNC suppression

$$V_{ub}^* V_{us} + V_{cb}^* V_{cs} + V_{tb}^* V_{ts} = 0$$



Unitarietà

$$V_{CKM}^+ V_{CKM} = \begin{pmatrix} V_{ud} & V_{us} & V_{ub} \\ V_{cd} & V_{cs} & V_{cb} \\ V_{td} & V_{ts} & V_{tb} \end{pmatrix}^+ \begin{pmatrix} V_{ud} & V_{us} & V_{ub} \\ V_{cd} & V_{cs} & V_{cb} \\ V_{td} & V_{ts} & V_{tb} \end{pmatrix} = \begin{pmatrix} V_{ud}^* & V_{cd}^* & V_{td}^* \\ V_{us}^* & V_{cs}^* & V_{ts}^* \\ V_{ub}^* & V_{cb}^* & V_{tb}^* \end{pmatrix} \begin{pmatrix} V_{ud} & V_{us} & V_{ub} \\ V_{cd} & V_{cs} & V_{cb} \\ V_{td} & V_{ts} & V_{tb} \end{pmatrix} =$$

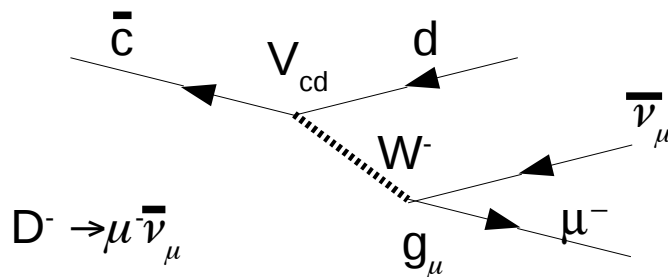
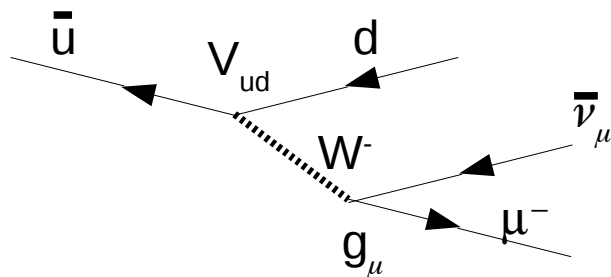
$$= \begin{pmatrix} |V_{ud}|^2 + |V_{cd}|^2 + |V_{td}|^2 & V_{ud}^* V_{us} + V_{cd}^* V_{cs} + V_{td}^* V_{ts} & V_{ud}^* V_{ub} + V_{cd}^* V_{cb} + V_{td}^* V_{tb} \\ V_{us}^* V_{ud} + V_{cs}^* V_{cd} + V_{ts}^* V_{td} & |V_{us}|^2 + |V_{cs}|^2 + |V_{ts}|^2 & V_{us}^* V_{ub} + V_{cs}^* V_{cb} + V_{ts}^* V_{tb} \\ V_{ub}^* V_{ud} + V_{cb}^* V_{cd} + V_{tb}^* V_{td} & V_{ub}^* V_{us} + V_{cb}^* V_{cs} + V_{tb}^* V_{ts} & |V_{ub}|^2 + |V_{cb}|^2 + |V_{tb}|^2 \end{pmatrix}$$

$$= \begin{pmatrix} |V_{ud}|^2 + |V_{cd}|^2 + |V_{td}|^2 & V_{ud}^* V_{us} + V_{cd}^* V_{cs} + V_{td}^* V_{ts} & V_{ud}^* V_{ub} + V_{cd}^* V_{cb} + V_{td}^* V_{tb} \\ V_{us}^* V_{ud} + V_{cs}^* V_{cd} + V_{ts}^* V_{td} & |V_{us}|^2 + |V_{cs}|^2 + |V_{ts}|^2 & V_{us}^* V_{ub} + V_{cs}^* V_{cb} + V_{ts}^* V_{tb} \\ V_{ub}^* V_{ud} + V_{cb}^* V_{cd} + V_{tb}^* V_{td} & V_{ub}^* V_{us} + V_{cb}^* V_{cs} + V_{tb}^* V_{ts} & |V_{ub}|^2 + |V_{cb}|^2 + |V_{tb}|^2 \end{pmatrix} =$$

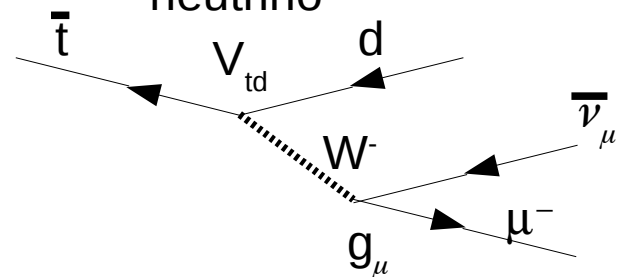
$$= \begin{pmatrix} |V_{ud}|^2 + |V_{cd}|^2 + |V_{td}|^2 & (V_{ud} V_{us}^* + V_{cd} V_{cs}^* + V_{td} V_{ts}^*)^* & (V_{ud} V_{ub}^* + V_{cd} V_{cb}^* + V_{td} V_{tb}^*)^* \\ V_{us}^* V_{ud} + V_{cs}^* V_{cd} + V_{ts}^* V_{td} & |V_{us}|^2 + |V_{cs}|^2 + |V_{ts}|^2 & (V_{us} V_{ub}^* + V_{cs} V_{cb}^* + V_{ts} V_{tb}^*)^* \\ V_{ub}^* V_{ud} + V_{cb}^* V_{cd} + V_{tb}^* V_{td} & V_{ub}^* V_{us} + V_{cb}^* V_{cs} + V_{tb}^* V_{ts} & |V_{ub}|^2 + |V_{cb}|^2 + |V_{tb}|^2 \end{pmatrix} =$$

$$= \begin{pmatrix} |V_{ud}|^2 + |V_{cd}|^2 + |V_{td}|^2 & 0 & 0 \\ 0 & |V_{us}|^2 + |V_{cs}|^2 + |V_{ts}|^2 & 0 \\ 0 & 0 & |V_{ub}|^2 + |V_{cb}|^2 + |V_{tb}|^2 \end{pmatrix} = \begin{pmatrix} 1 & 0 & 0 \\ 0 & 1 & 0 \\ 0 & 0 & 1 \end{pmatrix}$$

Universalità nel settore dei quark d



Misurabile (in principio) in interazione di neutrino



V_{CKM} è unitaria, di quanti parametri abbiamo bisogno per descriverla?

Matrice a elementi complessi 3 X 3, 9 parametri complessi , 18 parametri reali

Tuttavia

Parametri della CKM

$$J^\mu = (\bar{u} \bar{c} \bar{t}) \frac{y^\mu (1 - \gamma^5)}{2} V_{CKM} \begin{pmatrix} d \\ s \\ b \end{pmatrix} = \left(\bar{u} \frac{y^\mu (1 - \gamma^5)}{2} V_{ud}^{CKM} d + \dots \right)$$

I campi sono definiti a meno di una fase: $d \rightarrow d e^{i\phi_d}, u \rightarrow u e^{i\phi_u}$

$$\bar{u} \frac{y^\mu (1 - \gamma^5)}{2} V_{ud}^{CKM} d + \dots \rightarrow \bar{u} \frac{y^\mu (1 - \gamma^5)}{2} V_{ud}^{CKM} e^{i(\phi_d - \phi_u)} d$$

Possiamo scegliere le fasi in modo da rendere reali gli elementi di matrice, abbiamo 6 campi, fissata la fase di uno, possiamo scegliere quella degli altri 5 per rendere reali 5 parametri.

In generale per N doppietti abbiamo:

N^2 parametri complessi $2N-1$ parametri possono essere resi reali.

Numeri parametri reali $2N-1$

Numeri parametri complessi $N^2 - (2N-1)$

Numeri parametri necessario per la descrizione completa

$$2(N^2 - (2N-1)) + 2N-1 = 2N^2 - (2N-1)$$

L'unitarietà impone N^2 condizioni, quindi il numero di parametri è $N^2 - (2N-1)$

Una matrice unitaria reale è una matrice ortogonale

$$VV^+ = 1 \rightarrow VV^{*T} = 1 \rightarrow VV^T = 1$$

Condizioni di ortogonalità

$$\begin{pmatrix} a & b \\ c & d \end{pmatrix} \begin{pmatrix} a & c \\ b & d \end{pmatrix} = \begin{pmatrix} a^2 + b^2 & ac + bd \\ ca + db & c^2 + d^2 \end{pmatrix} = \begin{pmatrix} 1 & 0 \\ 0 & 1 \end{pmatrix} \quad 3 \text{ condizioni}$$

In generale per una matrice di ordine N le condizioni si applicano solo alla triangolare alta che ha
N elementi di traccia
+ (N²-N)/2 del triangolo
quindi il numero di parametri e':

$$N^2 - N - N^2/2 + N/2 = N^2/2 - N/2 = N(N-1)/2$$

Pertanto la V_{CKM} avrà: $N^2 - (2N-1) - N(N-1)/2 = 1/2(N-1)(N-2)$ fasi

Nel caso di N =2 (u,d,s,c) non ci sono fasi, la matrice e' reale (Matrice di Cabibbo)
Nel caso N = 3 c'e' una sola fase
e $3(3-1)/2$ 3 parametri reali.

Rappresentazione della CKM.

Matrice unitaria con 3 parametri reali e una fase:

- 1) il prodotto di due matrici unitarie e' una matrice unitaria;
- 2) il prodotto di una matrice ortogonale per una matrice unitaria e' una matrice unitaria.

Consideriamo il prodotto di tre rotazioni lungo tre assi 1,2,3 (gli assi possono essere considerati come 1 rotazione nelle prime due famiglie, 2 rotazione nella seconda e terza famiglia, 3 rotazione nella prima e terza famiglia:

$$V_{CKM} = \begin{pmatrix} 1 & 0 & 0 \\ 0 & c_{23} & s_{23} \\ 0 & -s_{23} & c_{23} \end{pmatrix} \begin{pmatrix} c_{13} & 0 & s_{13} e^{-i\delta} \\ 0 & 1 & 0 \\ -s_{13} e^{i\delta} & 0 & c_{13} \end{pmatrix} \begin{pmatrix} c_{12} & s_{12} & 0 \\ -s_{12} & c_{12} & 0 \\ 0 & 0 & 1 \end{pmatrix} = \begin{pmatrix} c_{12} c_{13} & s_{12} c_{13} & s_{13} e^{-i\delta} \\ -s_{12} c_{23} - c_{12} s_{23} s_{13} e^{i\delta} & c_{12} c_{23} - s_{12} s_{23} s_{13} e^{i\delta} & s_{23} c_{13} \\ s_{12} s_{23} - c_{12} c_{23} s_{13} e^{i\delta} & -c_{12} s_{23} - s_{12} c_{23} s_{13} e^{i\delta} & c_{23} c_{13} \end{pmatrix}$$

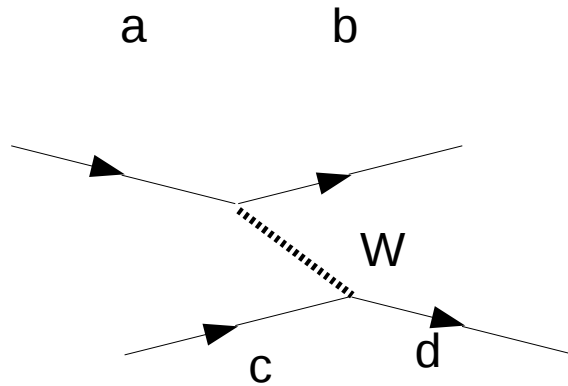
La fase puo' essere spostata ridefinendo le fasi dei quarks.

Ad esempio $b \rightarrow b e^{i\delta}$

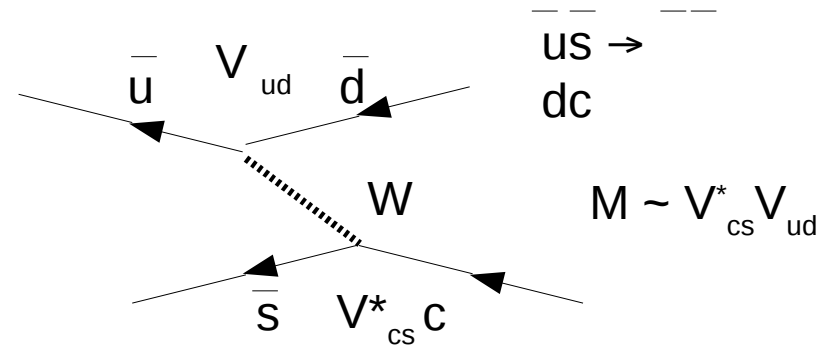
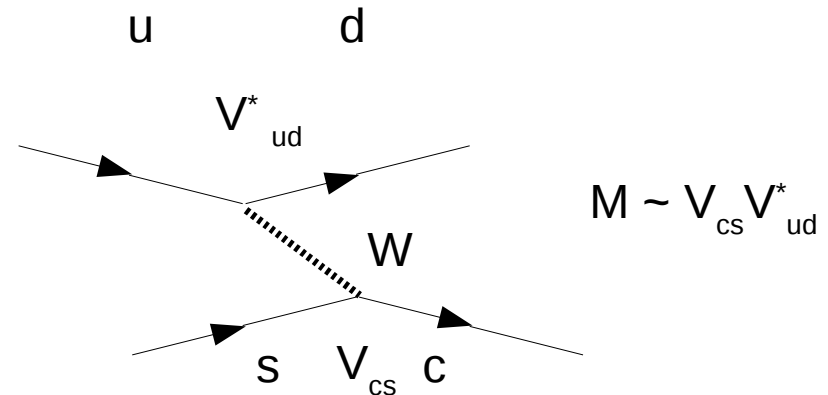
$$\begin{pmatrix} c_{12} c_{13} & s_{12} c_{13} & s_{13} e^{-i\delta} \\ -s_{12} c_{23} - c_{12} s_{23} s_{13} e^{i\delta} & c_{12} c_{23} - s_{12} s_{23} s_{13} e^{i\delta} & s_{23} c_{13} \\ s_{12} s_{23} - c_{12} c_{23} s_{13} e^{i\delta} & -c_{12} s_{23} - s_{12} c_{23} s_{13} e^{i\delta} & c_{23} c_{13} \end{pmatrix} \rightarrow \begin{pmatrix} c_{12} c_{13} & s_{12} c_{13} & s_{13} \\ -s_{12} c_{23} - c_{12} s_{23} s_{13} e^{i\delta} & c_{12} c_{23} - s_{12} s_{23} s_{13} e^{i\delta} & s_{23} c_{13} e^{i\delta} \\ s_{12} s_{23} - c_{12} c_{23} s_{13} e^{i\delta} & -c_{12} s_{23} - s_{12} c_{23} s_{13} e^{i\delta} & c_{23} c_{13} e^{i\delta} \end{pmatrix}$$

Violazione di CP

Consideriamo il processo quark scattering $ab \rightarrow cd$ es. $us \rightarrow dc$



$$\text{CP } ab \rightarrow cd = \bar{a}\bar{b} \rightarrow \bar{c}\bar{d}$$



1) la teoria viola CP se e solo se le ampiezze sono diverse. Cio' avviene solo se la matrice CKM e' complessa;

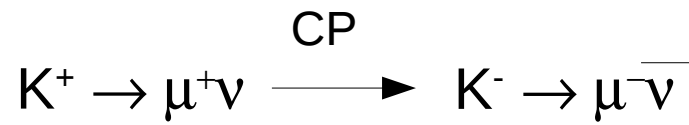
2) Il modello a quattro quark non puo' comportare violazione di CP (V e' reale);

3) Violazione di CP osservata -> Kobayashi Maskawa ipotizzano l' esistenza della terza famiglia (b,t);

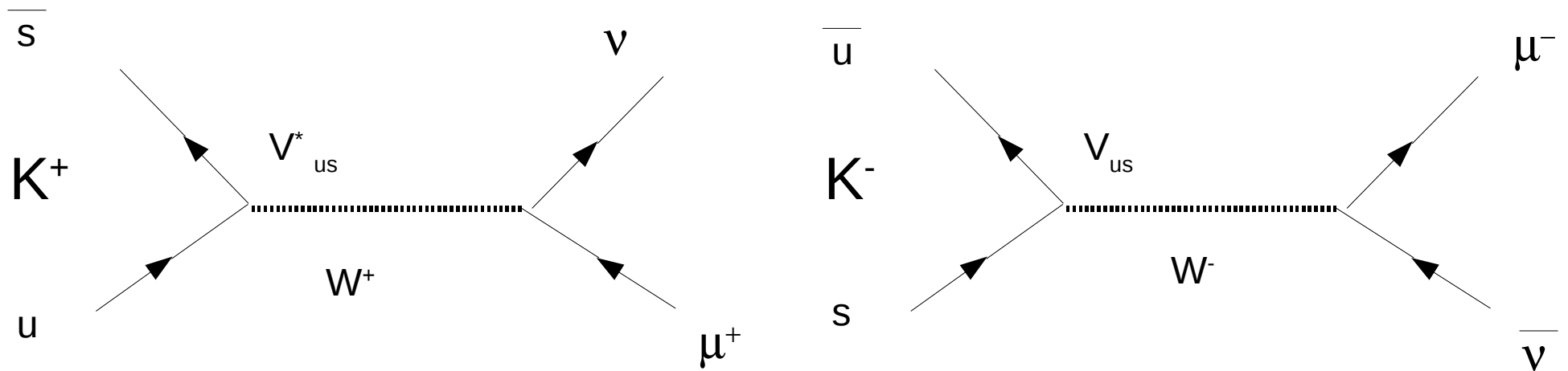
4) La violazione di CP e' difficilmente osservabile. Se il processo e' descritto da un solo diagramma di Feynman (complicato quanto si vuole) $M \sim V_{12} V_{23} V_{13} V_{12}^* \dots$

Ma $\Gamma \sim |M|^2$ quindi non riceve contributi dalle fasi.

Esempio



Tuttavia



$$\Gamma(K^+ \rightarrow \mu^+ \nu) \propto |V_{us}^*|^2 = |V_{us}|^2 \propto \Gamma(K^- \rightarrow \mu^- \bar{\nu})$$

Stesso ragionamento per B^\pm e D^\pm

Per osservare violazione di CP bisogna avere l'interferenza tra due diagrammi:
 l'ampiezza totale deve essere descritta come somma di due termini.
 Violazione di CP possibile nell'interferenza.

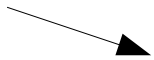
$$CP|K^0\rangle = |\bar{K}^0\rangle \quad CP|\bar{K}^0\rangle = |K^0\rangle$$

$$|K_2\rangle = \frac{|K^0\rangle - |\bar{K}^0\rangle}{\sqrt{2}} \quad |K_1\rangle = \frac{|K^0\rangle + |\bar{K}^0\rangle}{\sqrt{2}}$$

Se CP è conservata oscillazioni $K_1 \rightarrow K_2$ sono proibite

Transizioni $K_1 \rightarrow K_2$ nel modello standard:

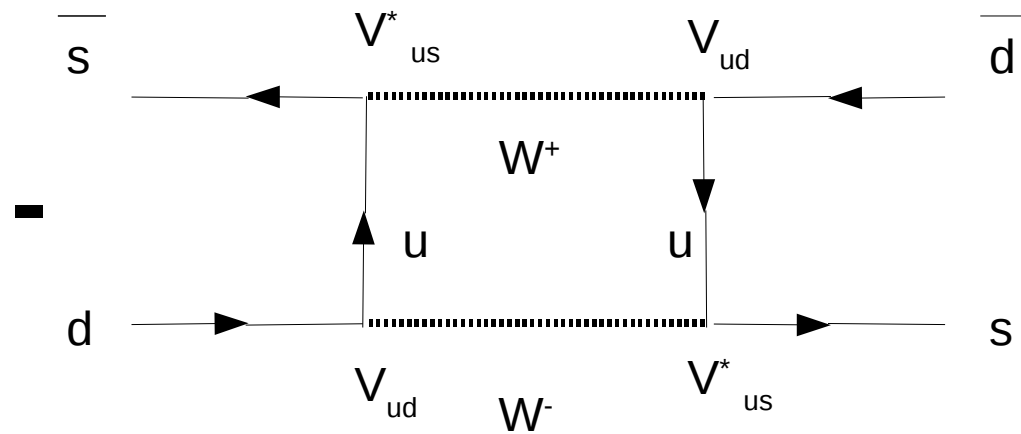
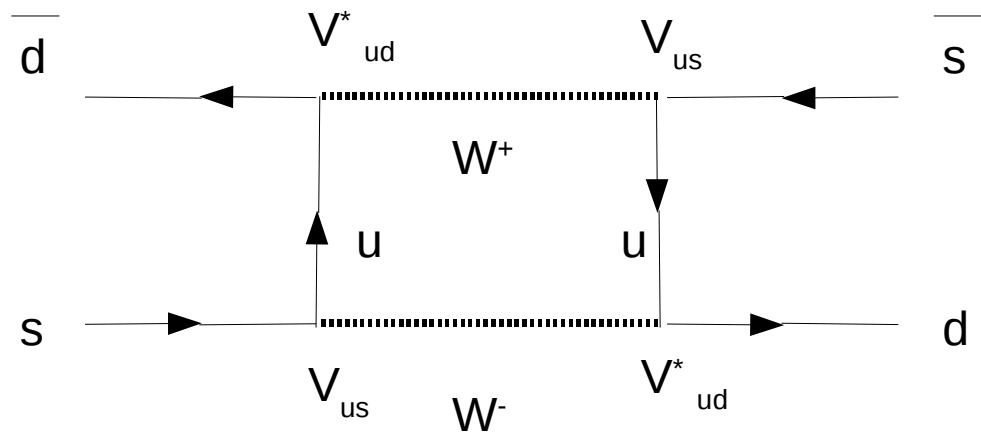
$$\begin{aligned} \langle K_2 | H | K_1 \rangle &= \frac{1}{2} \left(\langle K^0 | - \langle \bar{K}^0 | \right) H \left(|K^0\rangle + |\bar{K}^0\rangle \right) = \\ &= \frac{1}{2} \left(\langle K^0 | H | K^0 \rangle - \langle \bar{K}^0 | H | \bar{K}^0 \rangle - \langle \bar{K}^0 | H | K^0 \rangle + \langle K^0 | H | \bar{K}^0 \rangle \right) \end{aligned}$$



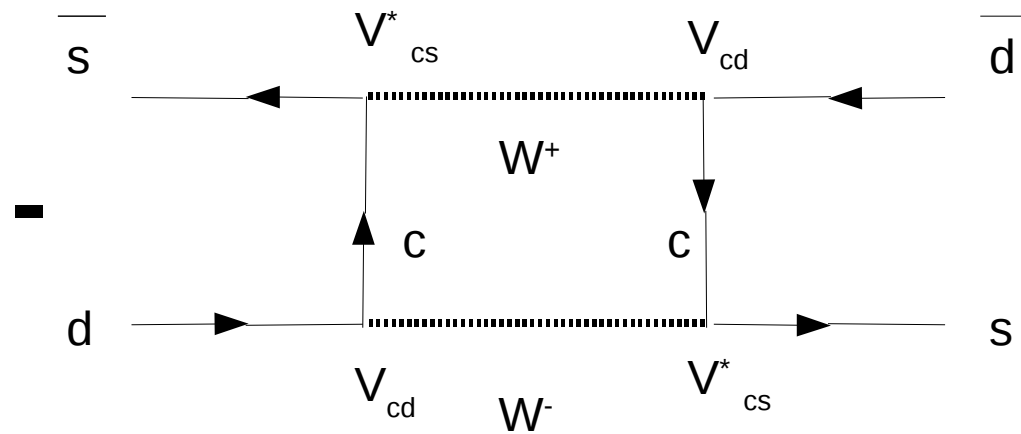
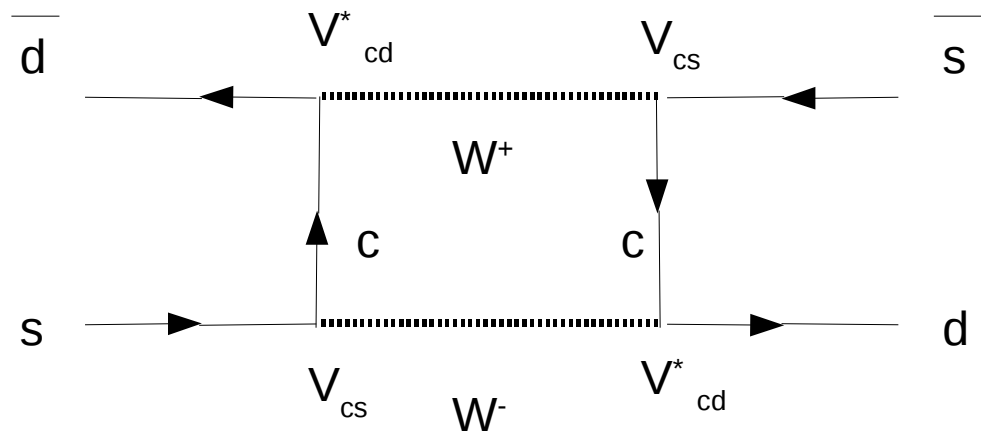
0 per simmetria di crossing

(Anche CPT, che vale per ogni teoria di campo Lorentz invariante e locale, con un potenziale dotato di minimo)

$$\langle \bar{K}^0 | H | K^0 \rangle - \langle K^0 | H | \bar{K}^0 \rangle$$



$$M \sim V_{us}^2 V_{ud}^{*2} - V_{us}^{*2} V_{ud}^2 = 2i \text{Im}(V_{us}^2 V_{ud}^{*2})$$



$$M \sim V_{cs}^2 V_{cd}^{*2} - V_{cs}^{*2} V_{cd}^2 = 2i \text{Im}(V_{cs}^2 V_{cd}^{*2})$$

$$V_{CKM} = \begin{pmatrix} V_{ud} & V_{us} & V_{ub} \\ V_{cd} & V_{cs} & V_{cb} \\ V_{td} & V_{ts} & V_{tb} \end{pmatrix}$$

Possiamo misurare i moduli di tutti gli elementi e le fasi

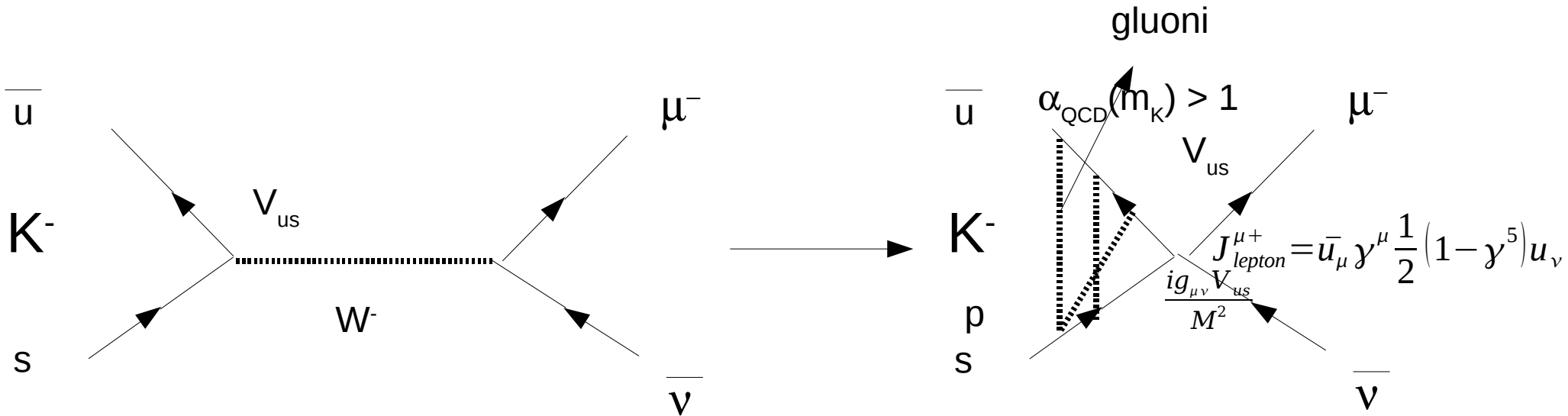
decadimenti leptonic
e semileptonici

misura delle oscillazioni
di sapore nei K,B,D

Stato dell'arte:

$$V_{CKM} = \begin{pmatrix} 0.97419 \pm 0.00022 & 0.2257 \pm 0.0010 & 0.00359 \pm 0.00016 \\ 0.2256 \pm 0.0010 & 0.97334 \pm 0.00023 & 0.0415 \pm 0.0011 \\ 0.00874^{+0.00026}_{-0.00037} & 0.0407 \pm 0.0010 & 0.999133 \pm 0.000044 \end{pmatrix}$$

Misura in decadimenti leptonici: V_{us}



A causa dell'interazione forte la corrente di quark non e' facilmente calcolabile. Tuttavia:

1) invarianza di Lorentz; $\langle K | J^\mu | 0 \rangle = f(p^2) p^\mu$

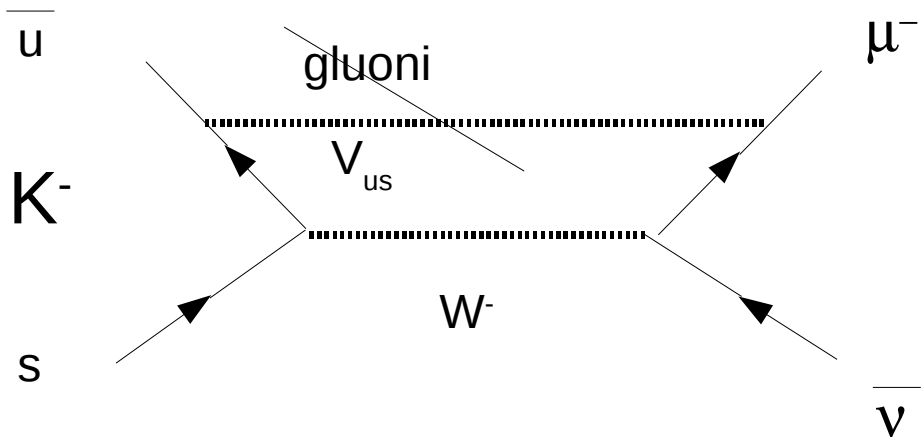
K spin 0
Unico quadrivettore a disposizione

Funzione di quantita' Lorentz invarianti.

ma $p^2 = m_K^2 \longrightarrow f(m_K^2) = f_K$

$$\Gamma(K^\pm \rightarrow \mu^\pm \nu) = \frac{G^2 |V_{us}|^2}{8\pi} f_K^2 m_K m_\mu^2 \left(1 - \frac{m_\mu^2}{m_K^2}\right)^2$$

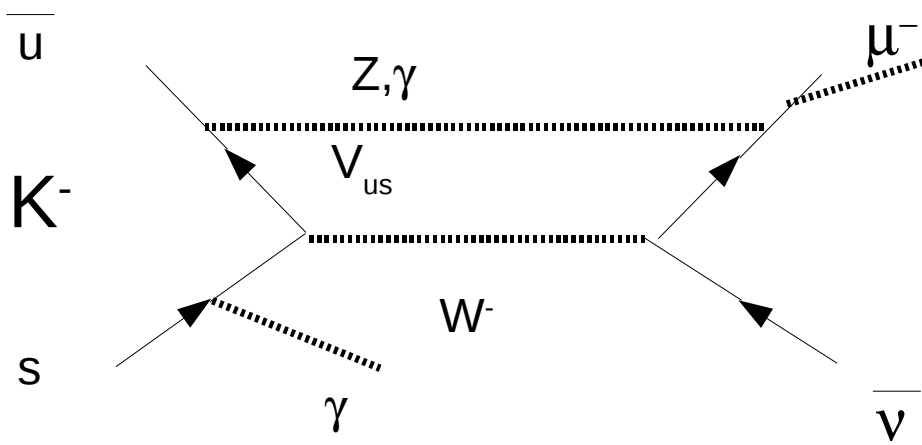
Abbiamo fattorizzato la parte adronica e la parte leptonica
 Sicuro che la fattorizzazione e' possibile?



Fortunatamente ci sono leptoni nello stato finale che non si accoppiano ai gluoni.

Tuttavia:

Gli esperimenti non possono distinguere $K \rightarrow \mu \nu$ da $K \rightarrow \mu \nu \gamma$ se l'energia del γ e' bassa: a KLOE $E_\gamma < 1$ MeV

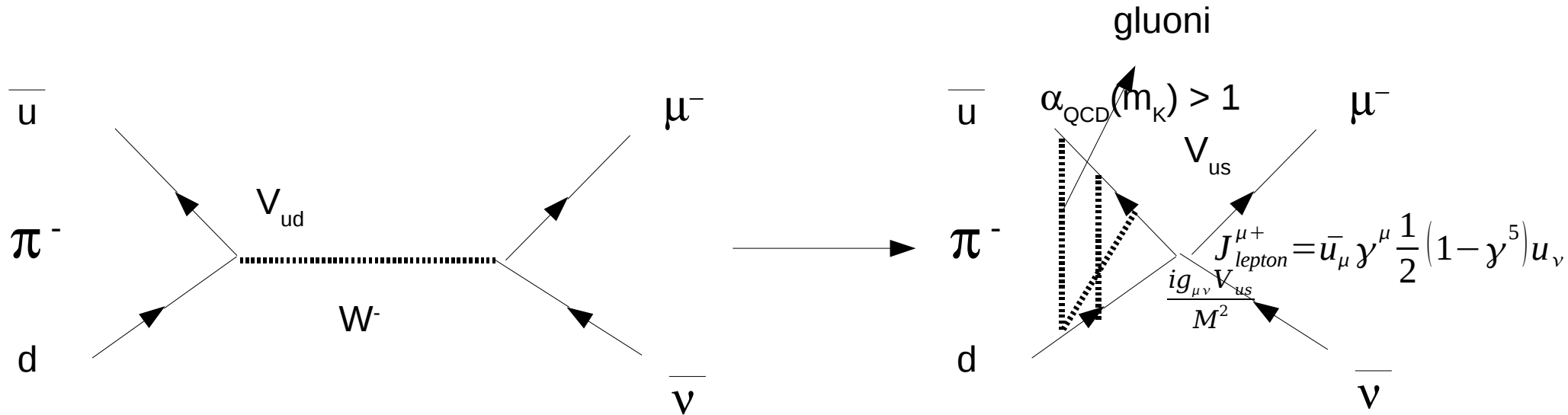


$$\Gamma(K^\pm \rightarrow \mu^\pm \nu) = \frac{G^2 |V_{us}|^2}{8\pi} f_K^2 m_K m_\mu^2 \left(1 - \frac{m_\mu^2}{m_K^2}\right)^2 \left(1 + \frac{\alpha}{\pi} C_K\right)$$

Correzioni elettrodeboli, si puo' applicare la teoria delle perturbazioni, buona precisione e attenuato da α : C_K al 50% ma l'effetto e' al 2 per mille.

Ma $f_K = 157 \pm 2$ MeV (1.3%) Calcoli di QCD su reticolo

Misura in decadimenti leptonici: V_{ud}



A causa dell'interazione forte la corrente di quark non e' facilmente calcolabile. Tuttavia:

1) invarianza di Lorentz ;

$$\langle \pi | J^\mu | 0 \rangle = f(p^2) p^\mu$$

K spin 0
Unico quadrivettore a disposizione

Funzione di quantita' invarianti di Lorentz.

ma $p^2 = m_\pi^2 \longrightarrow f(m_\pi^2) = f_\pi = 132 \pm 2 \text{ MeV}$

$$\Gamma(\pi^\pm \rightarrow \mu^\pm \nu) = \frac{G^2 |V_{ud}|^2}{8\pi} f_\pi^2 m_\pi m_\mu^2 \left(1 - \frac{m_\mu^2}{m_\pi^2}\right)^2$$

$$\frac{\Gamma(K^\pm \rightarrow \mu^\pm \nu)}{\Gamma(\pi^\pm \rightarrow \mu^\pm \nu)} = \frac{\frac{G^2 |V_{us}|^2}{8\pi} f_K^2 m_K m_\mu^2 \left(1 - \frac{m_\mu^2}{m_K^2}\right)^2 \left(1 + \frac{\alpha}{\pi} C_K\right)}{\frac{G^2 |V_{ud}|^2}{8\pi} f_\pi^2 m_\pi m_\mu^2 \left(1 - \frac{m_\mu^2}{m_\pi^2}\right)^2 \left(1 + \frac{\alpha}{\pi} C_\pi\right)} = \frac{|V_{us}|^2 f_K^2 m_K \left(1 - \frac{m_\mu^2}{m_K^2}\right)^2 \left(1 + \frac{\alpha}{\pi} C_K\right)}{|V_{ud}|^2 f_\pi^2 m_\pi \left(1 - \frac{m_\mu^2}{m_\pi^2}\right)^2 \left(1 + \frac{\alpha}{\pi} C_\pi\right)}$$

$f_K/f_\pi = 1.189 \pm 0.007$ (0.6%) l'errore sul rapporto e' meno della meta' dell'errore sui singoli termini. Questo perche' alcune sistematiche si cancellano (in particolare gli effetti di volume finito)

La misura di $|V_{us}|/|V_{ud}|$ e' molto precisa.

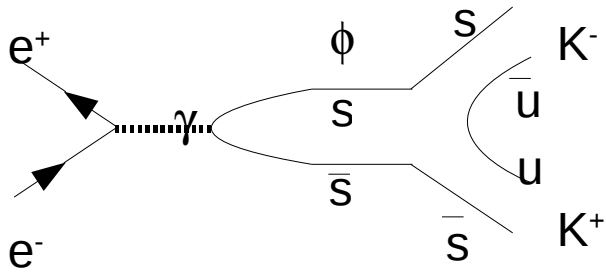
Come si misura

$$\Gamma(K^\pm \rightarrow \mu^\pm \nu) = Br(K^\pm \rightarrow \mu^\pm \nu) \Gamma(K^\pm) = Br(K^\pm \rightarrow \mu^\pm \nu) \frac{\hbar}{\tau_{K^\pm}}$$

$$\Gamma = \hbar/\tau$$

Dobbiamo misurare Br e vita media

Produzione di K a DAFNE

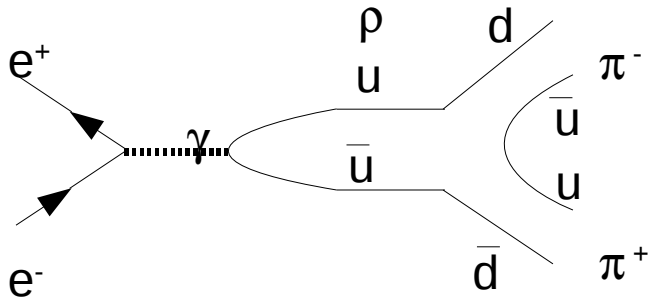


$$m_\phi = 1019.6 \text{ MeV}$$

$$\Gamma_\phi = 4 \text{ MeV}$$

$$m_{K^\pm} = 493.677 \text{ MeV}$$

$$p_K = 130 \text{ MeV}$$



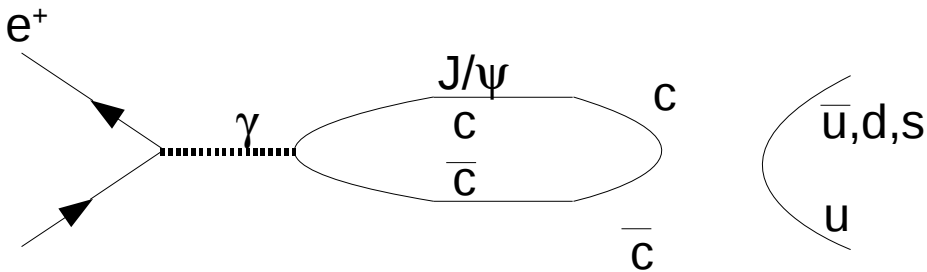
$$m_\rho = 770 \text{ MeV}$$

$$\Gamma_\rho = 149 \text{ MeV}$$

$$m_{\pi^\pm} = 140 \text{ MeV}$$

$$p_\pi = 360 \text{ MeV}$$

OZI FORBIDDEN



$$\Gamma \propto \frac{p}{M^2}$$

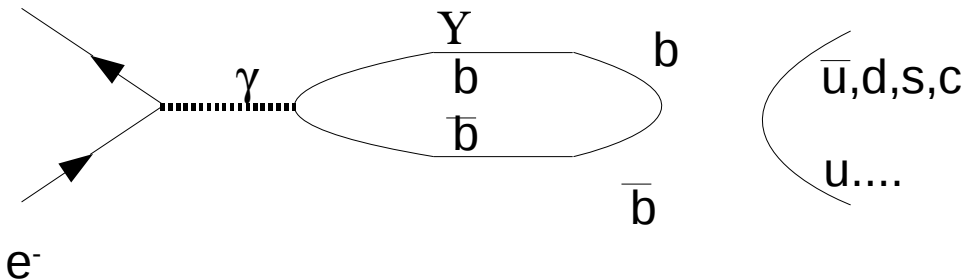
$$m_{J/\psi} = 3100 \text{ MeV}$$

$$\Gamma_{J/\psi} = \text{keV}$$

$$m_D = 1800 \text{ MeV}$$

$$2m_D = 3600 \text{ MeV}$$

OZI FORBIDDEN



$$m_Y = 10000 \text{ MeV}$$

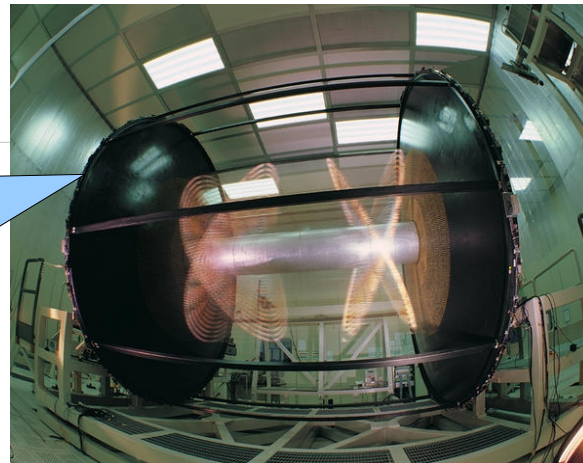
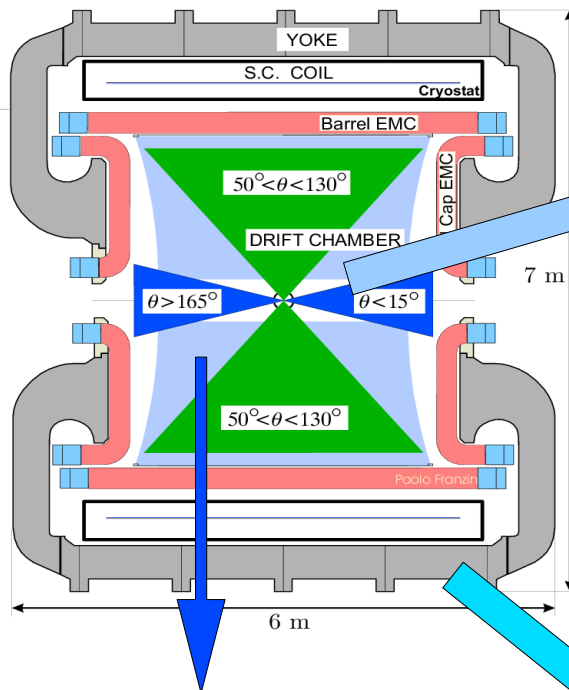
$$\Gamma_Y = 32 \text{ keV}$$

$$m_B = 5200 \text{ MeV}$$

$$2m_B = 10400 \text{ MeV}$$

KLOE

Detector scheme



Magnetic yoke before installation.

Cylindrical Drift Chamber

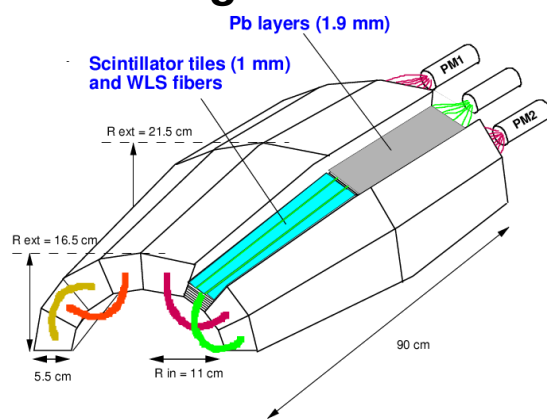
Stereo wires structure to reconstruct longitudinal position

52140 wires – 12582 drift cell
90% He 10% iC_4H_{10}

$$\begin{aligned} \sigma_{vtx} &= 1 \text{ mm} & \sigma_{pt}/p_t &= 0.5\% \\ \sigma_{r,\phi} &= 200 \text{ } \mu\text{m} & \sigma_z &= 2 \text{ mm} \end{aligned}$$

g

Small angle calorimeter

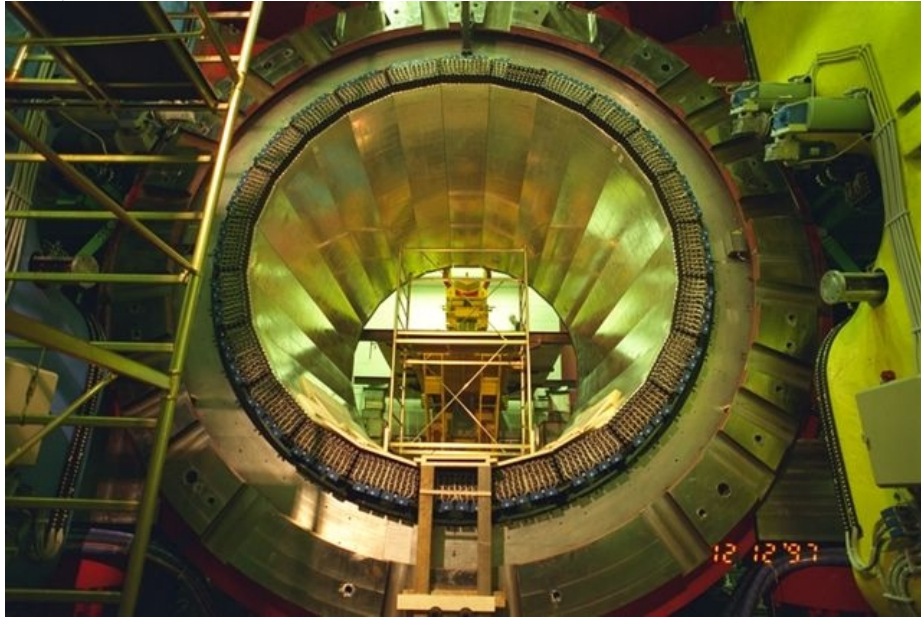


Efficiency 20 – 90 % E_{ne} 26-125 MeV
 $\sigma_t = 240 \text{ ps}/\sqrt{E} \text{ (GeV)}$



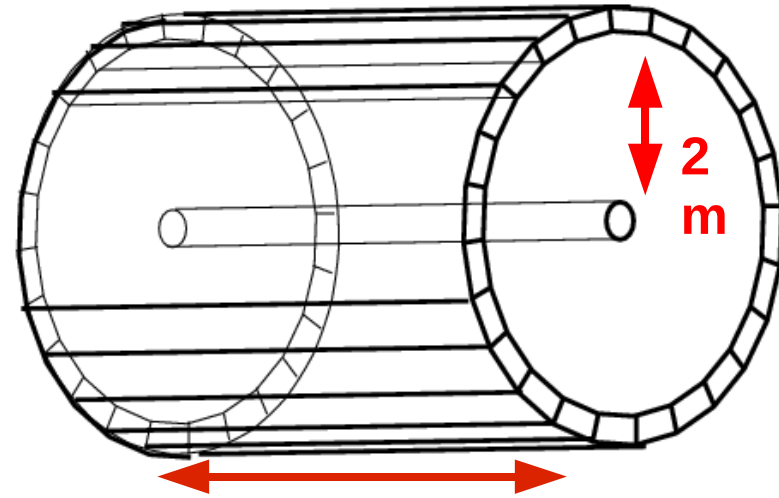
0.5 T magnetic field
Cryogenic coil working at 4.2 °K
Coil current 2300 A

Barrel



- 1 barrel + 2 end-caps
- Barrel 24 modules
- End-caps 30 modules
- 98% solid angle coverage

Calorimeter size

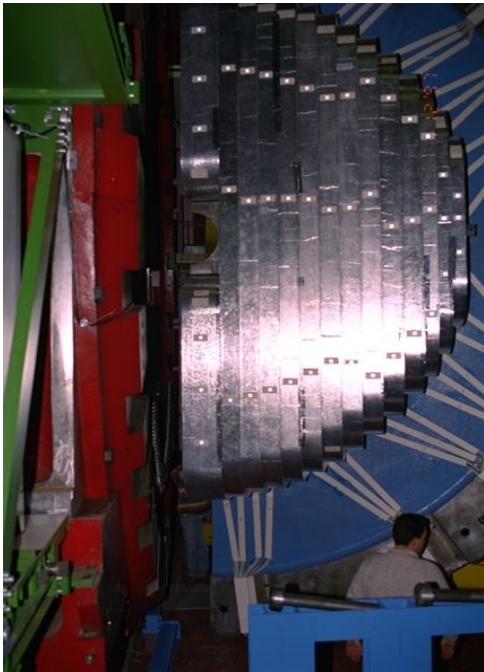


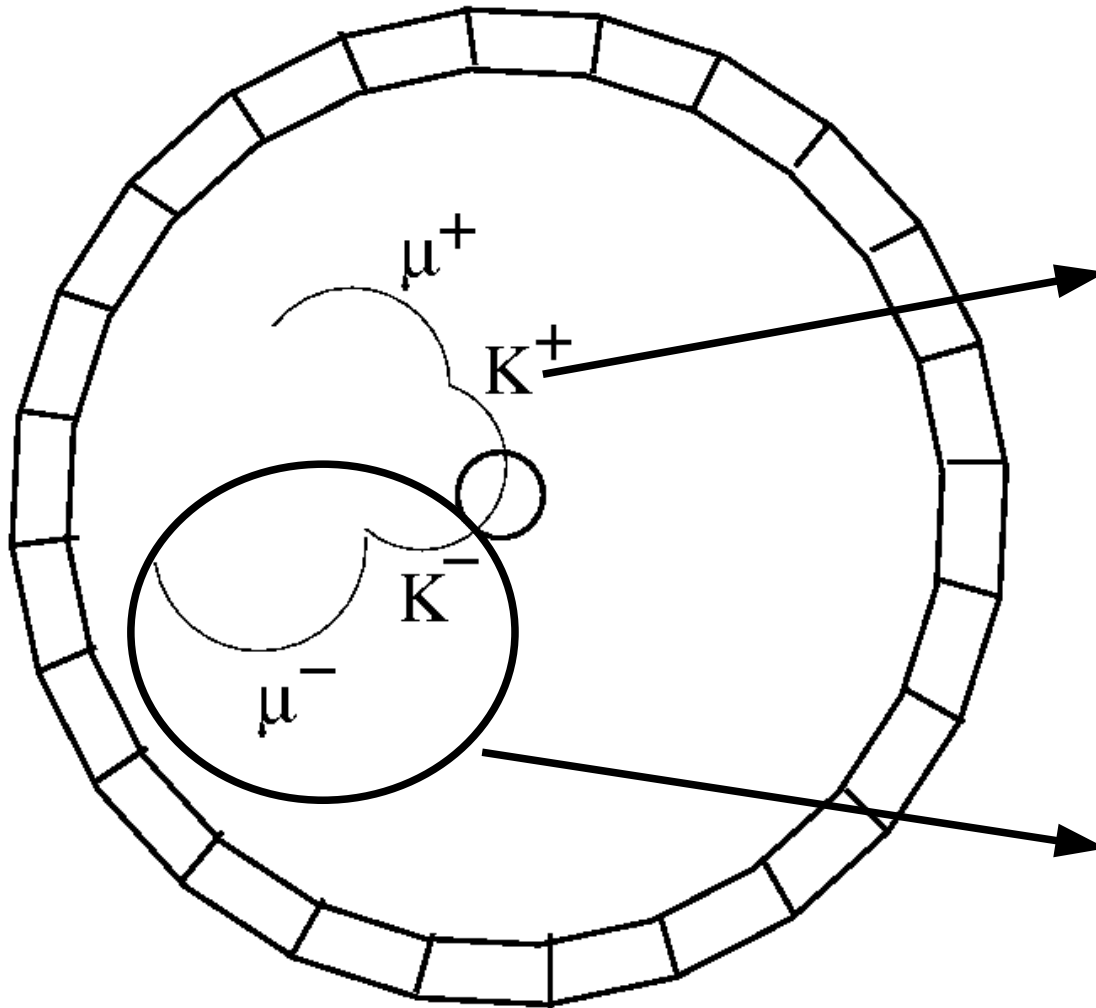
**4.3
m**

$$\sigma_E/E = 5.7\%/\sqrt{E(\text{GeV})}$$

$$\sigma_t = 54\text{ps}/\sqrt{E(\text{GeV})} \oplus 140\text{ ps}$$

End-cap half module

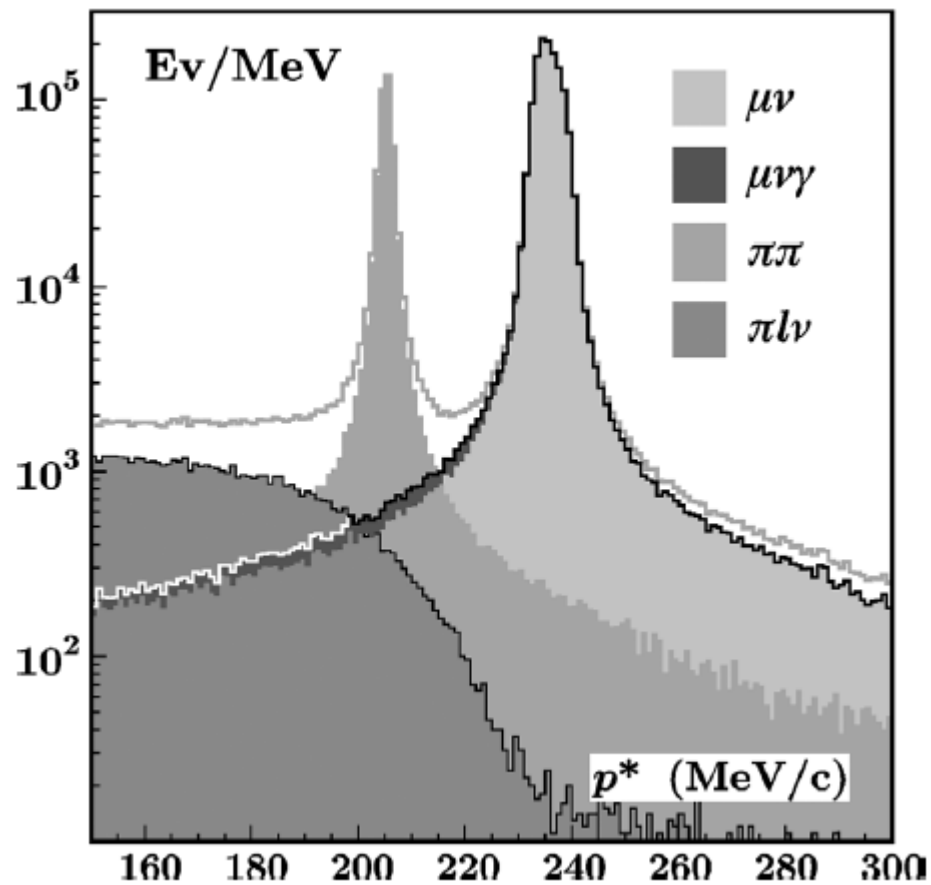




Ricostruisco il K^+ in due corpi, ma devo tener conto di fondi ed efficienze.
 Nel sistema del K il μ e' monocromatico.

$$p_{\mu}^* = 235 \text{ MeV}$$

Ricostruisco un vertice a due tracce e identifico il K^- , pertanto so che dall'altra parte c'e' un K^+



$$Br(K^+ \rightarrow \mu^+ \nu) = \frac{N_{K^+ \rightarrow \mu^+ \nu}}{N_{K^+} \epsilon}$$

$$Br(K^+ \rightarrow \mu^+ \nu) = 0.6366 \pm 0.0009_{\text{stat}} \pm 0.0015_{\text{syst}}$$

Misura della vita media.

Determiniamo la lunghezza di traccia.

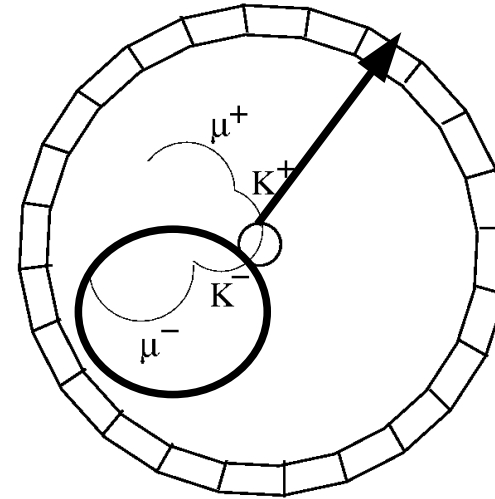
$$\tau_K = 12.38 \text{ ns}$$

$$c\tau = 3.7 \text{ m}$$

$$\Lambda_{\text{LAB}} = \beta\gamma c\tau$$

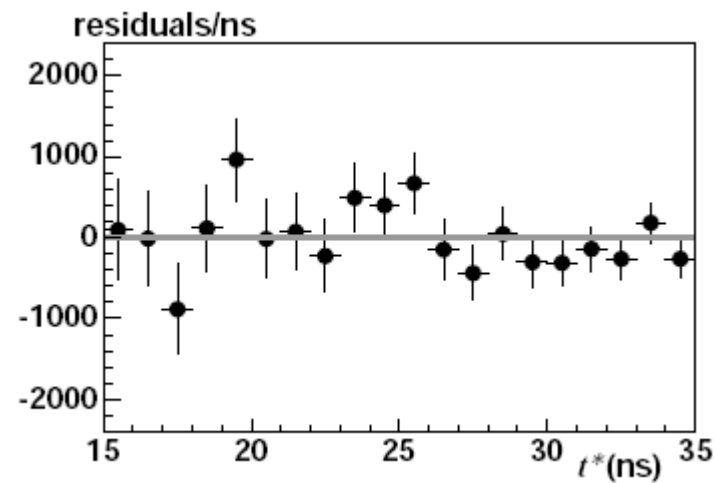
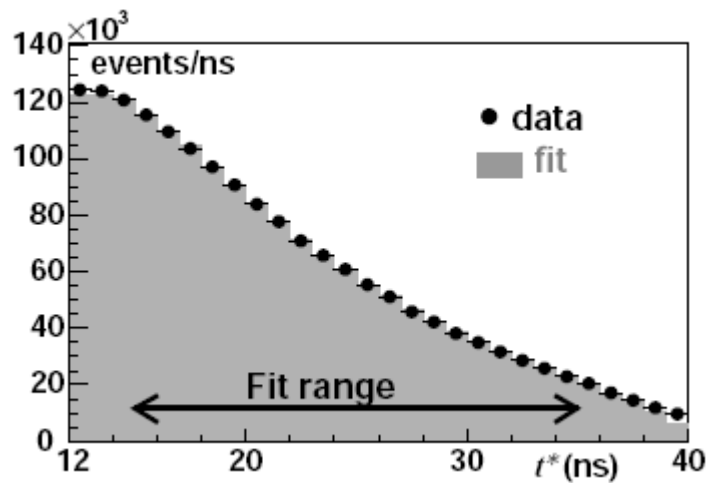
$$p_K = 110 \text{ MeV} \quad \beta\gamma = p/E = 110/505 = 0.22$$

$$\Lambda_{\text{LAB}} = 0.8 \text{ m}$$



Determiniamo la lunghezza di traccia.
Correggiamo per perdite di energia dE/dx .

Dalla lunghezza di traccia ricaviamo il tempo.



$$\tau = 12.347 \pm 0.030 \text{ ns}$$

$$\frac{\Gamma(K \rightarrow \mu \nu \gamma)}{\Gamma(\pi \rightarrow \mu \nu \gamma)} = \frac{m_K \left(1 - \frac{m_\mu^2}{m_K^2}\right)^2}{m_\pi \left(1 - \frac{m_\mu^2}{m_\pi^2}\right)} \frac{|V_{us}|^2 f_K^2}{|V_{ud}|^2 f_\pi^2} \frac{1 + \alpha/\pi C_K}{1 + \alpha/\pi C_\pi}$$

$$\frac{\Gamma(K \rightarrow \mu \nu \gamma)}{\Gamma(\pi \rightarrow \mu \nu \gamma)} = \frac{Br(K \rightarrow \mu \nu \gamma)}{\tau_K} \frac{\tau_\pi}{Br(\pi \rightarrow \mu \nu \gamma)}$$

$$\left| \frac{V_{us}}{V_{ud}} \right|^2 = 0.05211 \pm 0.00016 \pm 0.00019 \pm 0.00117$$



sperimentale

correzioni radiative

QCD reticolo

Decadimenti semileptonici.

$$|K_2\rangle = \frac{|K^0\rangle - |\bar{K}^0\rangle}{\sqrt{2}} \quad |K_1\rangle = \frac{|K^0\rangle + |\bar{K}^0\rangle}{\sqrt{2}}$$

A causa della violazione di CP possiamo avere oscillazioni $K_1 \leftrightarrow K_2$

Gli autostati di massa rappresentano i mesoni che si propagano.
Essi sono

$$|K_L\rangle = \frac{\epsilon |K_1\rangle + |K_2\rangle}{\sqrt{1 + |\epsilon|^2}} \quad |K_S\rangle = \frac{|K_1\rangle - \epsilon^* |K_2\rangle}{\sqrt{1 + |\epsilon|^2}}$$

$$|\epsilon| = (2.229 \pm 0.012) \times 10^{-3}$$

Noi trascureremo ϵ .

$$K_L = K_2 \quad K_S = K_1$$

$$\tau_L = (51.16 \pm 0.20) \text{ ns}$$

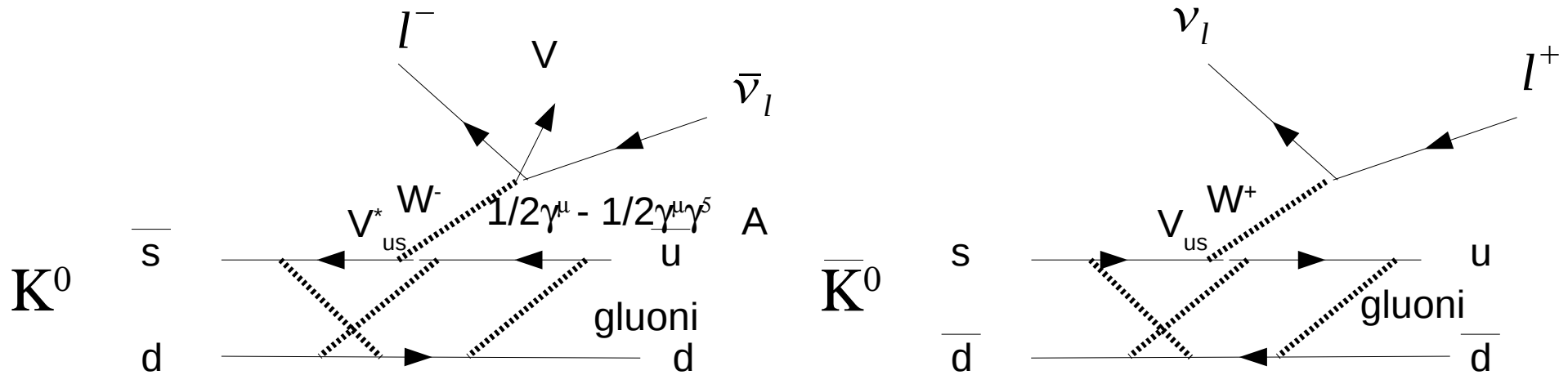
$$\tau_S = (0.08953 \pm 0.00005) \text{ ns}$$

$$m_{K_L} = 497.614 \pm 0.024 \text{ MeV}$$

$$m_{K_S} = 497.614 \pm 0.024 \text{ MeV}$$

$$|K_L\rangle \approx |K_2\rangle = \frac{|K^0\rangle - |\bar{K}^0\rangle}{\sqrt{2}}$$

$$K_L \rightarrow l^+ \pi^- \nu_l \quad K_L \rightarrow l^- \pi^+ \bar{\nu}_l$$



La corrente adronica non collega uno pseudoscalare al vuoto.

La transizione e' $0^- \rightarrow 0^-$, quindi solo la parte vettoriale contribuisce.

In prima approssimazione l'interazione forte non e' sensibile al sapore, quindi K e π sono lo stesso stato. L'elemento di matrice e' 1 in prima approssimazione.

Conservazione di isospin nelle interazioni forti

$$L = i(\bar{u}\bar{d}\bar{c}\bar{s}\bar{t}\bar{b})\gamma^\mu\partial\begin{pmatrix} u \\ d \\ c \\ s \\ t \\ b \end{pmatrix} - g(\bar{u}\bar{d}\bar{c}\bar{s}\bar{t}\bar{b})\gamma^\mu T_a\begin{pmatrix} u \\ d \\ c \\ s \\ t \\ b \end{pmatrix} G_\mu^a - (\bar{u}\bar{d}\bar{c}\bar{s}\bar{t}\bar{b})\begin{pmatrix} m_u & & & & & \\ & m_d & & & & \\ & & m_c & & & \\ & & & m_s & & \\ & & & & m_t & \\ & & & & & m_b \end{pmatrix}\begin{pmatrix} u \\ d \\ c \\ s \\ t \\ b \end{pmatrix}$$

Invarianti per rotazioni nello spazio del sapore.

Non e' invariante se le masse sono diverse.

Restringiamoci al caso di 3 quarks:

$$\begin{pmatrix} m_u & & \\ & m_d & \\ & & m_s \end{pmatrix} = \frac{(m_u+m_d)/2+m_s}{2}\begin{pmatrix} 1 & 0 & 0 \\ 0 & 1 & 0 \\ 0 & 0 & 1 \end{pmatrix} + \frac{m_s-m_u/2-m_d/2}{2}\begin{pmatrix} -1 & 0 & 0 \\ 0 & -1 & 0 \\ 0 & 0 & 1 \end{pmatrix} + \frac{m_u-m_d}{2}\begin{pmatrix} 1 & 0 & 0 \\ 0 & -1 & 0 \\ 0 & 0 & 0 \end{pmatrix}$$

$SU(3)_F$ invariante

$SU(3)$ breaking

$SU(2)$ breaking

L'entita' della rottura si valuta rispetto agli effetti di tutta la lagrangiana.

Una scala tipica e' la massa delle particelle. $m_u = 1.5 \text{ MeV}$ $m_d = 3.5 \text{ MeV}$ $m_s = 104 \text{ MeV}$

$\Lambda_{\text{QCD}} = 350 \text{ MeV}$

Teorema di Ademollo Gatto

Nelle correnti vettoriali (valutate a zero impulso trasferito) le correzioni di SU(3) compaiono al second'ordine nella differenza di massa dei quark.

Elemento di matrice della corrente adronica:

$$\langle K | J^\mu | \pi \rangle = f_+ (p_K + p_\pi)^\mu + f_- (p_K - p_\pi)^\mu = f_+ (p_K + p_\pi)^\mu + f_- (p_l + p_\nu)^\mu$$

funzione di invarianti di lorentz

contratto con la corrente leptonica fornisce termini proporzionali a m_l

possibili invarianti $(p_K + p_\pi)^2$ $(p_K - p_\pi)^2$

$$(p_K + p_\pi)^2 = m_K^2 + m_\pi^2 + 2p_K \cdot p_\pi$$

$$(p_K - p_\pi)^2 = m_K^2 + m_\pi^2 - 2p_K \cdot p_\pi$$

$$(p_K - p_\pi)^2 + (p_K + p_\pi)^2 = 2m_K^2 + 2m_\pi^2$$

$$(p_K + p_\pi)^2 = 2m_K^2 + 2m_\pi^2 - (p_K - p_\pi)^2$$

$$f_+ = f_+(t) \quad t = (p_K - p_\pi)^2$$

$$f_+ = f_+(0)f(t) \quad f(0) = 1$$

Sperimentalmente misurabile

$$M = J_{hadron}^\mu J_{\mu lepton}^+ = \dots (p_l + p_\nu)^\mu \bar{l} \gamma_\mu (1 - \gamma^5) \nu = \bar{l} (\not{p}_l + \not{p}_\nu) (1 - \gamma^5) \nu$$

$$|M|^2 = M M^+ = \bar{l} (\not{p}_l + \not{p}_\nu) (1 - \gamma^5) \nu \nu^+ (1 - \gamma^5) (\not{p}_l \gamma^{\mu+} + \not{p}_\nu \gamma^{\nu+}) \gamma^0 l$$

$$\begin{aligned} & \bar{l} (\not{p}_l + \not{p}_\nu) (1 - \gamma^5) \nu \nu^+ \gamma^0 (1 + \gamma^5) (\not{p}_l \gamma^\mu + \not{p}_\nu \gamma^\nu) \gamma^0 \gamma^0 l = \\ & = \bar{l} (\not{p}_l + \not{p}_\nu) (1 - \gamma^5) \nu \bar{\nu} (1 + \gamma^5) (\not{p}_l + \not{p}_\nu) l \end{aligned}$$

Esplicitiamo gli indici di spin e le componenti degli spinori e sommiamo su tutti gli spin

$$|\bar{M}|^2 = \sum_{s'} \bar{l}_\alpha^{s'} \left[(\not{p}_l + \not{p}_\nu) (1 - \gamma^5) \right]_{\alpha\beta} \sum_s \nu_\beta^s \bar{\nu}_\gamma^s \left[(1 + \gamma^5) (\not{p}_l + \not{p}_\nu) \right]_{\gamma\delta} l_\delta^{s'}$$

$$\gamma^{5+} = \gamma^5$$

$$\gamma^{\mu+} = \gamma^0 \gamma^\mu \gamma^0$$

$$\gamma^5 \gamma^\mu + \gamma^\mu \gamma^5 = 0$$

$$\gamma^5 \gamma^\mu - \gamma^\mu \gamma^5 = 0$$

$$\gamma^\mu \gamma^\nu + \gamma^\nu \gamma^\mu = 2g^{\mu\nu}$$

$$(\gamma^5)^2 = 1$$

Teoremi di traccia

$$\not{p} = p_\mu \gamma^\mu$$

$$\text{Tr} 1 = 4$$

$$\text{Tr}(\mathbf{a} \mathbf{b}) = 4 \mathbf{a} \cdot \mathbf{b}$$

$$\text{Tr}(\gamma^5) = 0$$

$$\text{Tr}(\gamma^5 \mathbf{a} \mathbf{b}) = 0$$

$$\text{Tr}(\gamma^\mu \text{dispari}) = 0$$

Relazioni di completezza

$$\sum_{s=1,2} \psi^s(p) \bar{\psi}^s(p) = \not{p} + m$$

$$\text{Tr}(\mathbf{a} \mathbf{b} \mathbf{c} \mathbf{d}) = 4 [(\mathbf{a} \cdot \mathbf{b})(\mathbf{c} \cdot \mathbf{d}) - (\mathbf{a} \cdot \mathbf{c})(\mathbf{b} \cdot \mathbf{d}) + (\mathbf{a} \cdot \mathbf{d})(\mathbf{b} \cdot \mathbf{c})]$$

$$\text{Tr}(\gamma^5 \mathbf{a} \mathbf{b} \mathbf{c} \mathbf{d}) = 4i \epsilon_{\mu\nu\lambda\sigma} a^\mu b^\nu c^\lambda d^\sigma$$

$$\begin{aligned}
|\bar{M}|^2 &= \sum_{s'} l_{\alpha}^{\bar{s}'} \left[(\mathbf{p}_l + \mathbf{p}_v)(1 - \gamma^5) \right]_{\alpha\beta} \sum_s v_{\beta}^s \bar{v}_{\gamma}^{\bar{s}} \left[(1 + \gamma^5)(\mathbf{p}_l + \mathbf{p}_v) \right]_{\gamma\delta} l_{\delta}^{s'} = \\
&= \sum_{s'} l_{\delta}^{s'} \bar{l}_{\alpha}^{\bar{s}'} \left[(\mathbf{p}_l + \mathbf{p}_v)(1 - \gamma^5) \right]_{\alpha\beta} \sum_s v_{\beta}^s \bar{v}_{\gamma}^{\bar{s}} \left[(1 + \gamma^5)(\mathbf{p}_l + \mathbf{p}_v) \right]_{\gamma\delta} = \\
&= (\mathbf{p}_l + m_l)_{\delta\alpha} \left[(\mathbf{p}_l + \mathbf{p}_v)(1 - \gamma^5) \right]_{\alpha\beta} (\mathbf{p}_v)_{\beta\gamma} \left[(1 + \gamma^5)(\mathbf{p}_l + \mathbf{p}_v) \right]_{\gamma\delta} = \\
&= \text{Tr} \left[(\mathbf{p}_l + m_l)(\mathbf{p}_l + \mathbf{p}_v)(1 - \gamma^5)(\mathbf{p}_v)(1 + \gamma^5)(\mathbf{p}_l + \mathbf{p}_v) \right] = \\
&= \text{Tr} \left[(\mathbf{p}_l + m_l)(\mathbf{p}_l + \mathbf{p}_v)(\mathbf{p}_v)(1 + \gamma^5)(1 + \gamma^5)(\mathbf{p}_l + \mathbf{p}_v) \right] = \\
&= 2 \text{Tr} \left[(\mathbf{p}_l + m_l)(\mathbf{p}_l + \mathbf{p}_v)(\mathbf{p}_v)(1 + \gamma^5)(\mathbf{p}_l + \mathbf{p}_v) \right] = \\
&= 2 \text{Tr} \left[(\mathbf{p}_l + m_l)(\mathbf{p}_l + \mathbf{p}_v)(\mathbf{p}_v)(\mathbf{p}_l + \mathbf{p}_v) \right] + 2 \text{Tr} \left[(\mathbf{p}_l + m_l)(\mathbf{p}_l + \mathbf{p}_v)(\mathbf{p}_v) \gamma^5 (\mathbf{p}_l + \mathbf{p}_v) \right] = \\
&= 2 \text{Tr} \left[(\mathbf{p}_l + m_l)(\mathbf{p}_l + \mathbf{p}_v)(\mathbf{p}_v)(\mathbf{p}_l + \mathbf{p}_v) \right] + 2 \text{Tr} \left[(\mathbf{p}_l + m_l)(\mathbf{p}_l + \mathbf{p}_v)(\mathbf{p}_v) \gamma^5 (\mathbf{p}_l + \mathbf{p}_v) \right] =
\end{aligned}$$

$$\begin{aligned}
&= 2 \operatorname{Tr} \left[(\not{p}_l + m_l) (\not{p}_l + \not{p}_\nu) (\not{p}_\nu) (\not{p}_l + \not{p}_\nu) \right] = 2 \operatorname{Tr} \not{p}_l \not{p}_l \not{p}_\nu \not{p}_l + 2 \operatorname{Tr} \not{p}_l \not{p}_\nu \not{p}_\nu \not{p}_l + \\
&+ 2 \operatorname{Tr} \not{p}_l \not{p}_l \not{p}_\nu \not{p}_\nu + 2 \operatorname{Tr} \not{p}_l \not{p}_\nu \not{p}_\nu \not{p}_\nu + 2m_l \operatorname{Tr} \not{p}_l \not{p}_\nu \not{p}_l + 2m_l \operatorname{Tr} \not{p}_\nu \not{p}_\nu \not{p}_l \\
&+ 2m_l \operatorname{Tr} \not{p}_\nu \not{p}_\nu \not{p}_\nu
\end{aligned}$$

$$\begin{aligned}
&= 2 \operatorname{Tr} \left[(\not{p}_l + m_l) (\not{p}_l + \not{p}_\nu) (\not{p}_\nu) (\not{p}_l + \not{p}_\nu) \right] = 2 \operatorname{Tr} \not{p}_l \not{p}_l \not{p}_\nu \not{p}_l + 2 \operatorname{Tr} \not{p}_l \not{p}_\nu \not{p}_\nu \not{p}_l + \\
&+ 2 \operatorname{Tr} \not{p}_l \not{p}_l \not{p}_\nu \not{p}_\nu + 2 \operatorname{Tr} \not{p}_l \not{p}_\nu \not{p}_\nu \not{p}_\nu + 2 m_l \operatorname{Tr} \not{p}_l \not{p}_\nu \not{p}_l + 2 m_l \operatorname{Tr} \not{p}_\nu \not{p}_\nu \not{p}_l \\
&+ 2 m_l \operatorname{Tr} \not{p}_\nu \not{p}_\nu \not{p}_\nu
\end{aligned}$$

$$\begin{aligned}
&= 2 \operatorname{Tr} \not{p}_l \not{p}_l \not{p}_\nu \not{p}_l + 2 \operatorname{Tr} \not{p}_l \not{p}_\nu \not{p}_\nu \not{p}_l + 2 \operatorname{Tr} \not{p}_l \not{p}_l \not{p}_\nu \not{p}_\nu + 2 \operatorname{Tr} \not{p}_l \not{p}_\nu \not{p}_\nu \not{p}_\nu = \\
&8 \left(m_l^2 \not{p}_\nu \cdot \not{p}_l - \not{p}_l \cdot \not{p}_\nu m_l^2 + m_l^2 \not{p}_l \cdot \not{p}_\nu \right) + 8 \left((\not{p}_l \cdot \not{p}_\nu)^2 - (\not{p}_l \cdot \not{p}_\nu)^2 + m_l^2 m_\nu^2 \right) + \\
&+ 8 \left(-(\not{p}_l \cdot \not{p}_\nu)^2 + (\not{p}_l \cdot \not{p}_\nu)^2 \right) = 8 m_l^2 \not{p}_l \cdot \not{p}_\nu
\end{aligned}$$

$$\begin{aligned}
&= 2\text{Tr} \left[(\not{p}_l + m_l) (\not{p}_l + \not{p}_\nu) (\not{p}_\nu) \gamma^5 (\not{p}_l + \not{p}_\nu) \right] = 2\text{Tr} \not{p}_l \not{p}_l \not{p}_\nu \gamma^5 \not{p}_l + 2\text{Tr} \not{p}_l \not{p}_l \not{p}_\nu \gamma^5 \not{p}_\nu + \\
&+ 2\text{Tr} \not{p}_l \not{p}_\nu \not{p}_\nu \gamma^5 \not{p}_l + 2\text{Tr} \not{p}_l \not{p}_\nu \not{p}_\nu \gamma^5 \not{p}_\nu = \\
&= 2\text{Tr} \gamma^5 \not{p}_l \not{p}_l \not{p}_\nu \not{p}_l + 2\text{Tr} \gamma^5 \not{p}_l \not{p}_l \not{p}_\nu \not{p}_\nu + 2\text{Tr} \gamma^5 \not{p}_l \not{p}_\nu \not{p}_\nu \not{p}_l + 2\text{Tr} \gamma^5 \not{p}_l \not{p}_\nu \not{p}_\nu \not{p}_\nu = \\
&= 2\text{Tr} \gamma^5 \not{p}_l \not{p}_l \not{p}_\nu \not{p}_l + 2\text{Tr} \gamma^5 \not{p}_l \not{p}_l \not{p}_\nu \not{p}_\nu + 2\text{Tr} \gamma^5 \not{p}_l \not{p}_\nu \not{p}_l + 2\text{Tr} \gamma^5 \not{p}_l \not{p}_\nu \not{p}_\nu \not{p}_\nu = \\
&= 4i \epsilon_{ijkl} p_l^i p_l^j p_\nu^j p_l^l = 0 + 0 \dots
\end{aligned}$$

$$\Gamma(K_L \rightarrow e^- \pi^+ \bar{\nu}) = \frac{G_F^2 M_K^5}{192 \pi^3} S_{EW} |V_{us}|^2 |f_+(0)|^2 I(1 + \delta^{EM})$$

It is customary to analyze the spin-averaged decay distribution $\rho(y, z)$ for $K_{\ell 3}$. It depends on two variables, for which we choose:

$$z = \frac{2p_\pi \cdot p_K}{M_K^2} = \frac{2E_\pi}{M_K}, \quad y = \frac{2p_K \cdot p_\ell}{M_K^2} = \frac{2E_\ell}{M_K}, \quad (3.3)$$

where E_π (E_ℓ) is the pion (charged lepton) energy in the kaon rest frame, and M_K indicates the mass of the decaying kaon. Alternatively one may also use two of the Lorentz invariants

$$t = (p_K - p_\pi)^2, \quad u = (p_K - p_\ell)^2, \quad s = (p_\pi + p_\ell)^2. \quad (3.4)$$

Then the distribution (without radiative corrections) reads

$$\rho^{(0)}(y, z) = \mathcal{N} \left[A_1^{(0)} |f_+^{K\pi}(t)|^2 + A_2^{(0)} f_+^{K\pi}(t) f_-^{K\pi}(t) + A_3^{(0)} |f_-^{K\pi}(t)|^2 \right], \quad (3.5)$$

$$\mathcal{N} = C^2 \frac{G_F^2 |V_{us}|^2 M_K^5}{128 \pi^3}, \quad \Gamma = \int_{\mathcal{D}} dy dz \rho^{(0)}(y, z).$$

Integrale sullo spazio delle fasi di $f(t)$.

$$\Gamma(K_L \rightarrow e^- \pi^+ \bar{\nu}) = Br(K_L \rightarrow e^- \pi^+ \bar{\nu}) \Gamma_{K_L} = \frac{Br(K_L \rightarrow e^- \pi^+ \bar{\nu}) \hbar}{\tau_{K_L}}$$

La statistica di Bose impedisce che un vettore possa decadere in una coppia di pseudoscalari identici.

$\phi \rightarrow PP$ Il momento angolare orbitale deve essere 1. Per scambio cambia segno, quindi la funzione d'onda e' antisimmetrica.

$\phi \rightarrow K_S K_L$

$$\tau_L = (51.16 \pm 0.20) \text{ ns}$$

$$m_{K_L} = m_{K_S} = 497.614 \pm 0.024 \text{ MeV}$$

$$\tau_S = (0.08953 \pm 0.00005) \text{ ns}$$

$$\vec{P}_{K_S} = \vec{P}_{K_L}$$

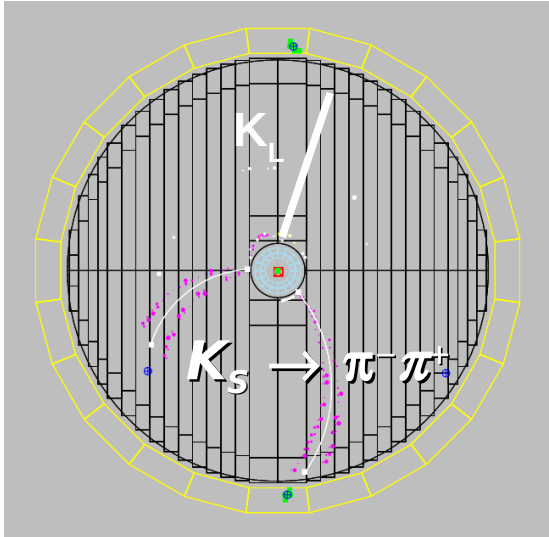
$$|\vec{P}_{K_S}| = 110 \text{ MeV}$$

$$\beta \gamma = p/E = 0.22$$

$$\Lambda_{K_L} = 0.22 \tau_L c = 3.4 \text{ m}$$

$$\Lambda_{K_S} = 0.22 \tau_S c = 6 \text{ mm}$$

Il K_S decade vicino al punto di interazione
il K_L nella camera a deriva.



Decadimenti dominanti

$$K_S \rightarrow \pi^+\pi^- \quad CP = +1$$

$$K_S \rightarrow \pi^0\pi^0$$

$$K_L \rightarrow \pi^+\pi^-\pi^0 \quad CP = -1$$

$$K_L \rightarrow \pi^0\pi^0\pi^0$$

Decadimenti semileptonici

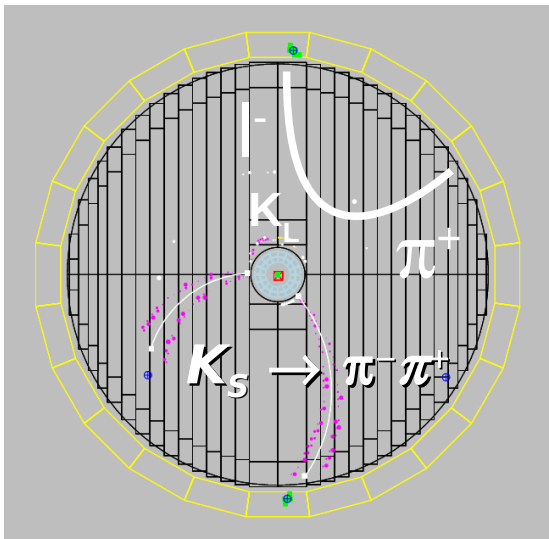
Impulso del K_L dato da quello misurato del K_S

$$\vec{p}_{K_L} = \vec{p}_l + \vec{p}_\pi + \vec{p}_\nu$$

$$E_{miss} = E_\nu = E_{K_L} - \sqrt{P_1^2 + m_1^2} - \sqrt{P_2^2 + m_2^2}$$

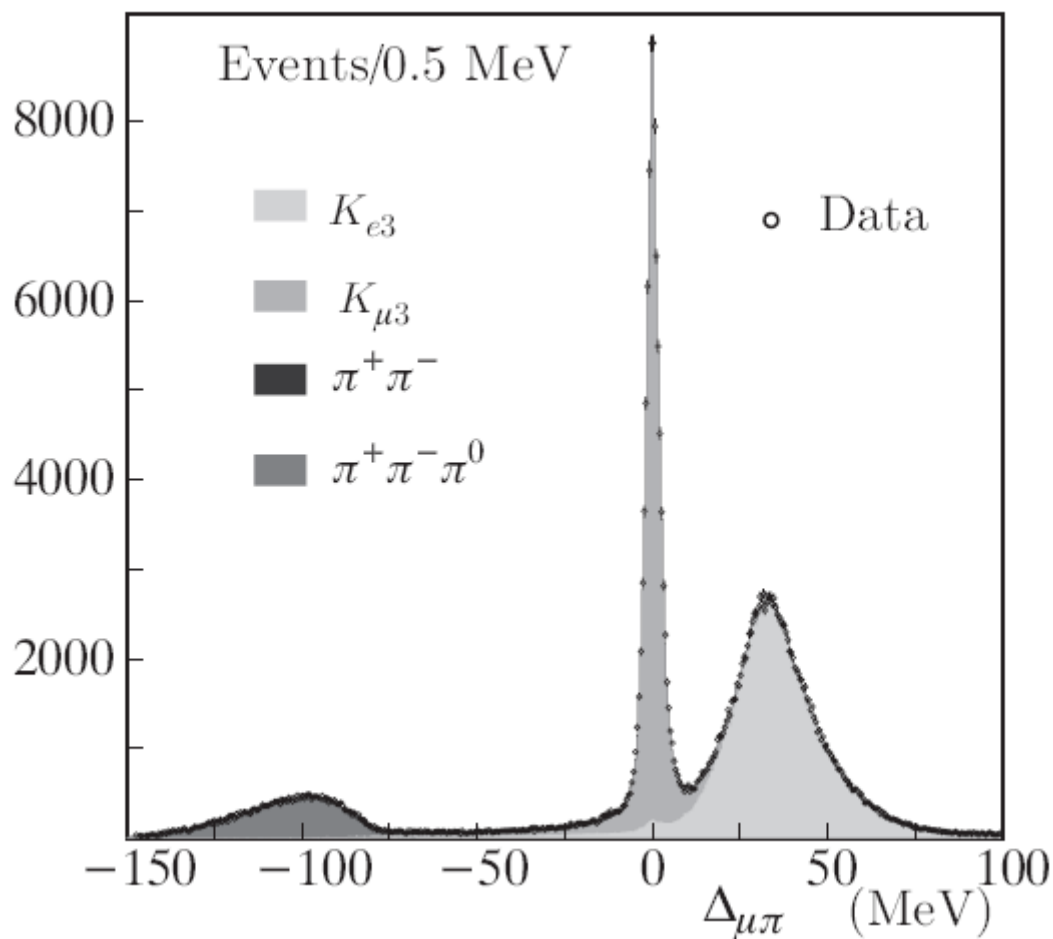
$$P_{miss} = \left| \vec{p}_{K_L} - \vec{P}_1 - \vec{P}_2 \right|$$

$$\Delta_{12} = E_{miss12} - P_{miss} = E_{K_L} - \sqrt{P_1^2 + m_1^2} - \sqrt{P_2^2 + m_2^2} - P_{miss}$$



Dati due impulsi posso associare il leptone, ad esempio muone, ad 1 ed il pi al secondo e vice versa.

La combinazione corretta mi da' zero. Pertanto scelgo la combinazione con il valore assoluto piu' piccolo



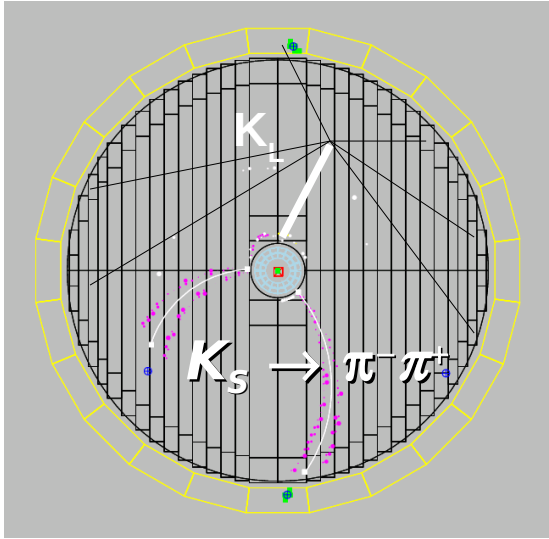
Il fit a queste distribuzione fornisce il numero di eventi Ke3.

Poiche' l'efficienza di selezione dipende da quanti K_L decadono nel volume di rivelazione esiste una relazione tra efficienza e vita media del K_L

$$\text{BR}(K_L \rightarrow f) / \text{BR}_0(K_L \rightarrow f) = 1 + 0.0128 \text{ ns}^{-1} (\tau_L - \tau_{L,0}),$$

$$\tau_{L,0} = 51.54 \text{ ns}$$

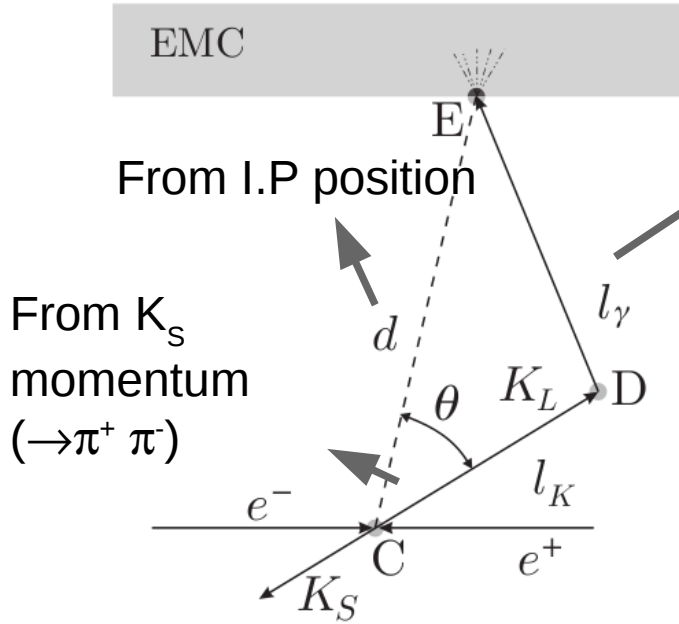
$$\text{BR}(\text{Ke3}) = 0.4049(21)$$



Misura della vita media del K_L

usiamo decadimenti $K_L \rightarrow 3\pi^0$

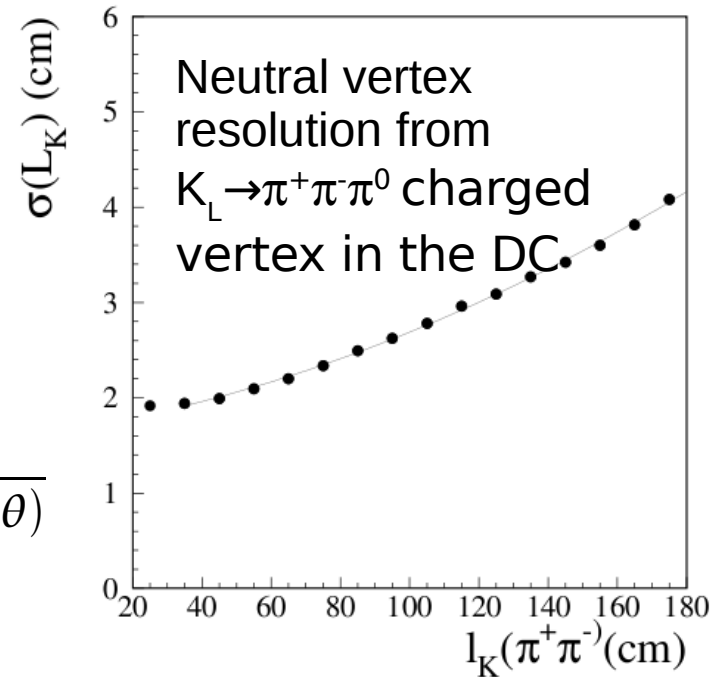
$\pi^0 \rightarrow \gamma\gamma$

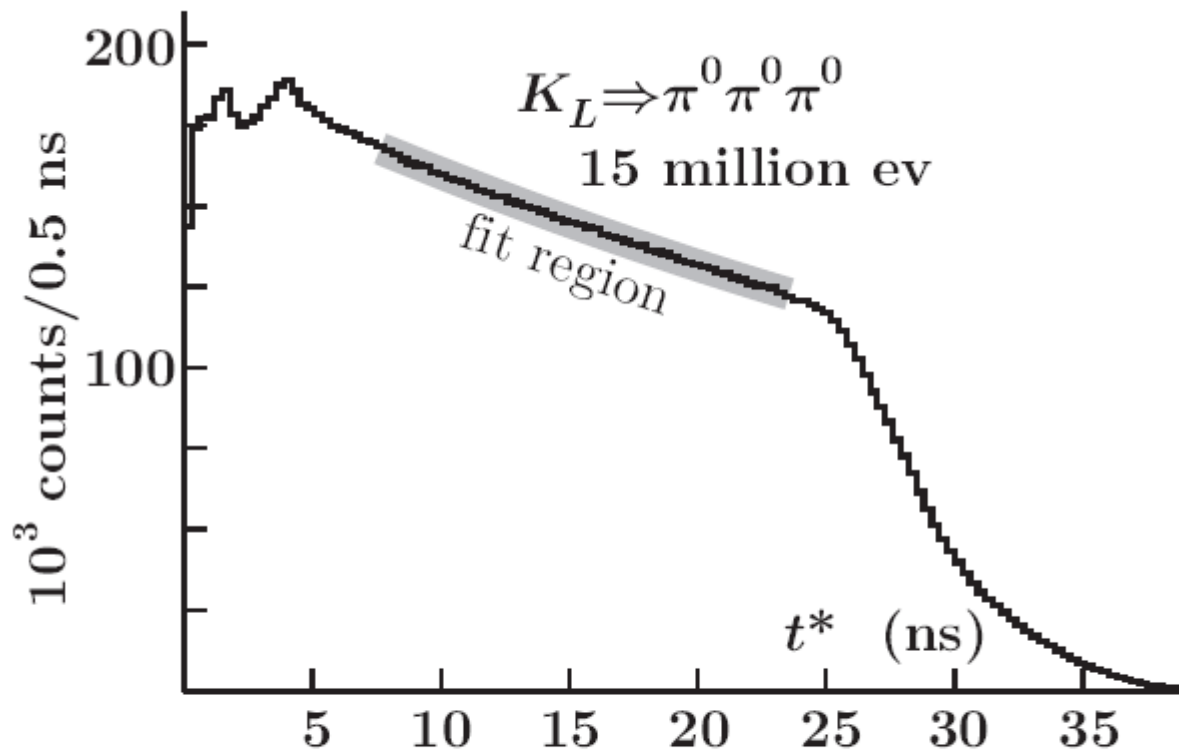


From I.P
photon ToF

$$t_{cl} = \frac{l_K}{\beta c} + \frac{l_\gamma}{c}$$

$$\frac{l_\gamma}{\sin \theta} = \frac{l_K}{\sin \alpha} = \frac{d}{\sin(180 - \alpha - \theta)}$$



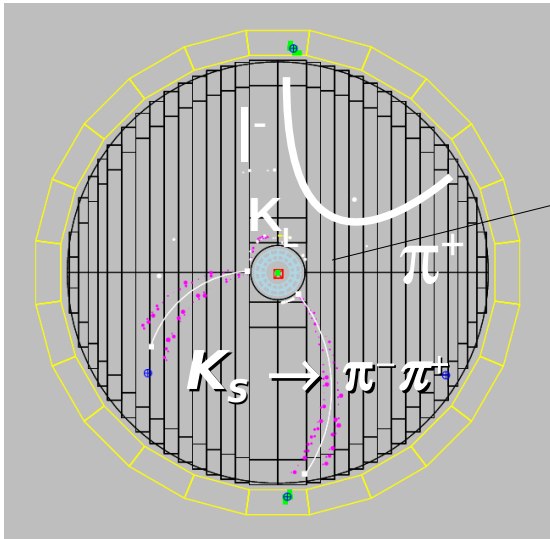


$$\tau_L = 50.92 \pm 0.17_{\text{stat}} \pm 0.25_{\text{syst}} \text{ ns}$$

Figure 6: Proper-time distribution for K_L $3\pi^0$ decays.

misura del fattore di forma Ke3

L'assegnazione e π^- e' effettuata sulla base del tempo di volo, in modo da non influenzare la misura dei momenti.



conosco la posizione del vertice

conosco il β del K

posso determinare l'istante di decadimento del K

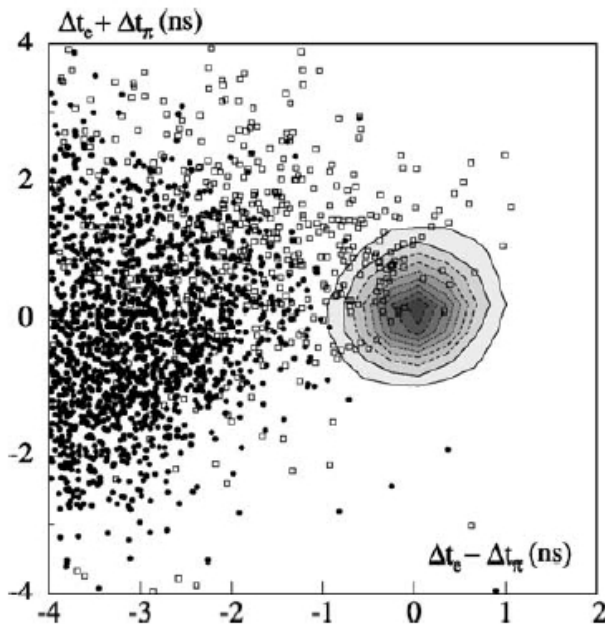
Posso determinare la lunghezza di traccia ed ho il tempo del cluster nel calorimetro.

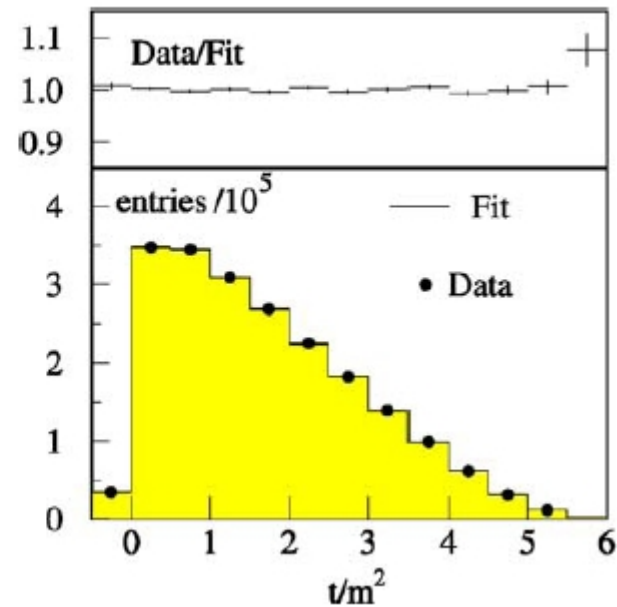
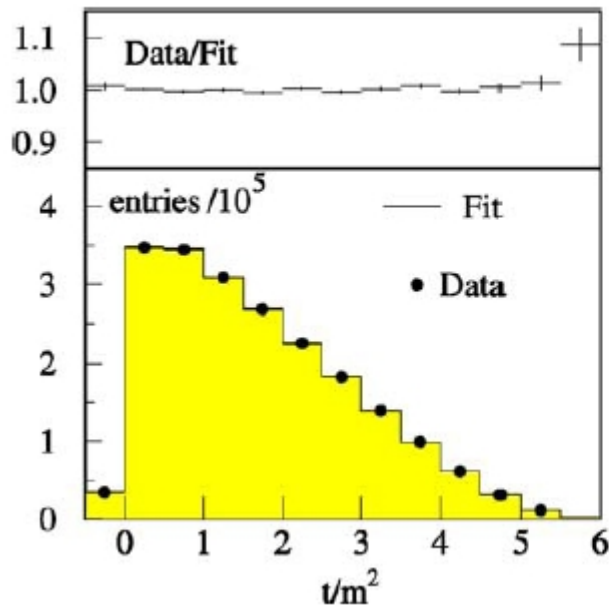
Posso confrontare il tempo del cluster con il tempo atteso per un elettrone ($\beta = 1$)

$$\Delta t_e = t_{cl} - t_{exp e}$$

$$\Delta t_\pi = t_{cl} - t_{exp \pi}$$

$|\Delta t_\pi - \Delta t_e|$ nelle due ipotesi, identifico il π^- e e^- trovando la combinazione minima. Dopo l'assegnazione: Fondo rimanente 0.7%





$$f(t) = f(t)_{\text{spaziofasi}} * f_+(t)$$

$$\hat{f}_+(t) = 1 + \lambda'_+ \frac{t}{m^2} + \frac{1}{2} \lambda''_+ \left(\frac{t}{m^2} \right)^2 + \dots$$

$$\lambda'_+ = (25.5 \pm 1.5_{\text{stat}} \pm 1.0_{\text{syst}}) \times 10^{-3}$$

$$\lambda''_+ = (1.4 \pm 0.7_{\text{stat}} \pm 0.4_{\text{syst}}) \times 10^{-3}$$

$$l = 0.15470 \pm 0.00042$$

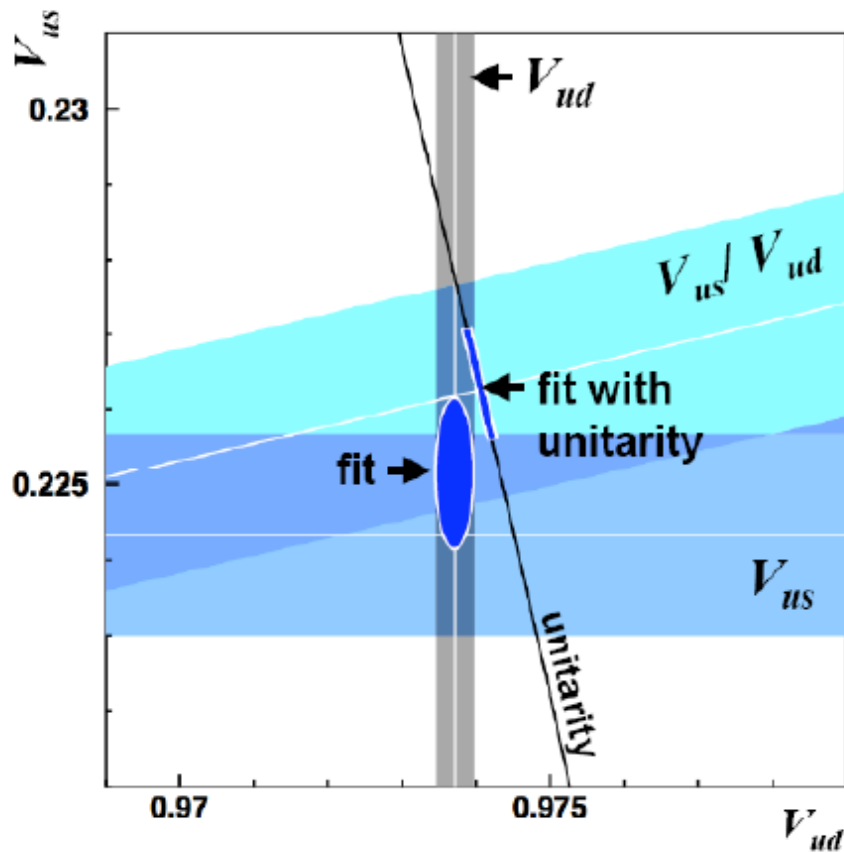
$$\Gamma(K_L \rightarrow e^- \pi^+ \bar{\nu}) = \frac{G_F^2 M_K^5}{192 \pi^3} S_{EW} |V_{us}|^2 |f_+(0)|^2 I(1 + \delta^{EM})$$

$$|V_{us}| |f_+(0)| = 0.2155(7)$$

reticolo $f_+(0) = 0.9644 \pm 0.0049$

$$|V_{us}| = 0.2237 \pm 0.0013$$

$f_+(0)$ from UKQCD/RBC '06



V_{us}/V_{ud} from $\text{Br}(K \rightarrow \mu\nu\gamma)_{\text{KLOE}} / \text{Br}(\pi \rightarrow \mu\nu\gamma)$

Fit results, no constraint:

$$\begin{aligned} V_{ud} &= 0.97371(26) \\ V_{us} &= 0.2252(10) \\ \chi^2/\text{ndf} &= 0.85/1 \text{ (36\%)} \end{aligned}$$

Unitarity
constrained at
 $< 7 \times 10^{-4}$ level
on $|V_{ud}|^2 + |V_{us}|^2$

Fit results, unitarity constraint:

$$\begin{aligned} V_{ud} &= 0.97405(17) \\ V_{us} &= 0.2263(7) \\ \chi^2/\text{ndf} &= 3.8/2 \text{ (14.6\%)} \end{aligned}$$

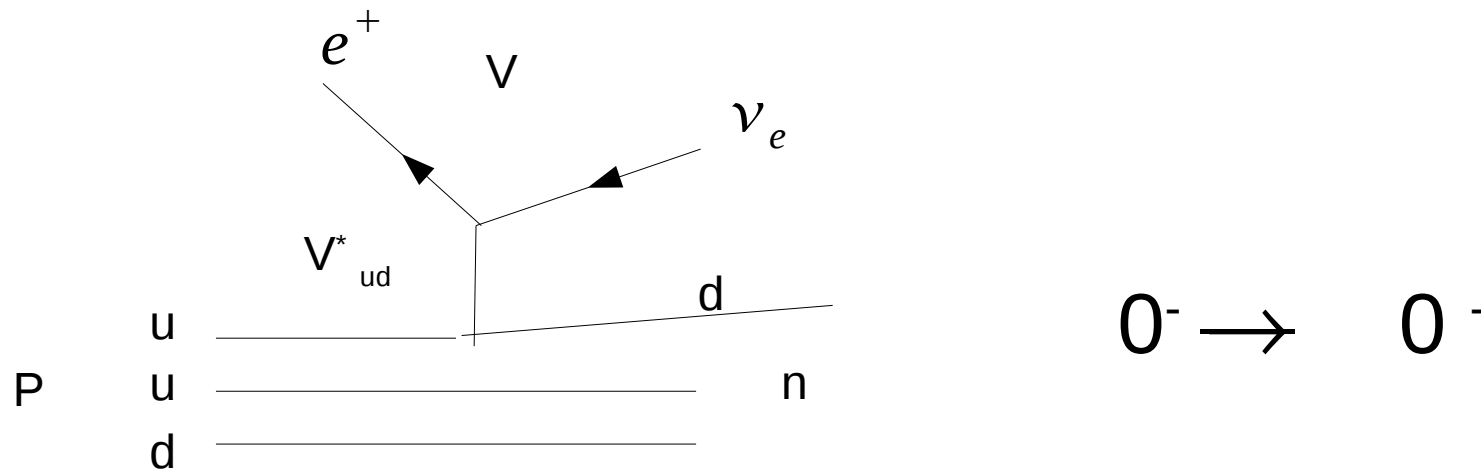
Agreement with unitarity 1.5σ

$$\frac{\Gamma(K \rightarrow \mu\nu\gamma)}{\Gamma(\pi \rightarrow \mu\nu\gamma)} = \frac{m_K \left(1 - \frac{m_\mu^2}{m_K^2}\right)^2}{m_\pi \left(1 - \frac{m_\mu^2}{m_\pi^2}\right)} \frac{|V_{us}|^2 f_K^2}{|V_{ud}|^2 f_\pi^2} \frac{1 + \alpha/\pi C_K}{1 + \alpha/\pi C_\pi}$$

Misura di V_{ud}

Decadimento beta nucleare:

1) Assenza di altri stati finali: $Br = 1$, la vita media fornisce direttamente la Γ parziale.



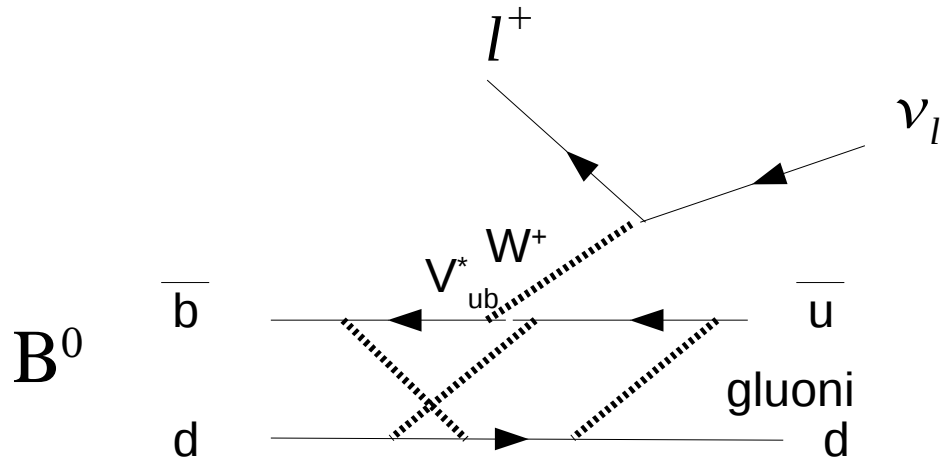
Transizione vettoriale, le correzioni a 1 provengono da rottura di SU(2), molto piu' lieve delle correzioni SU(3).

$$\Gamma = \frac{G^2 |V_{ud}|^2 Q^5}{30 \pi^3} \rightarrow |V_{ud}|^2 = \frac{\hbar 30 \pi^3}{G^2 Q^5 t} = \frac{\hbar 30 \pi^3 \ln 2}{G^2 Q^5 t_{1/2}} = \frac{2984.48 (5)}{ft_{1/2} (1 + RC)}$$

Nucleus	ft (sec)	V_{ud}
^{10}C	3039.5(47)	0.97370(80)(14)(19)
^{14}O	3042.5(27)	0.97411(51)(14)(19)
^{26}Al	3037.0(11)	0.97400(24)(14)(19)
^{34}Cl	3050.0(11)	0.97417(34)(14)(19)
^{38}K	3051.1(10)	0.97413(39)(14)(19)
^{42}Sc	3046.4(14)	0.97423(44)(14)(19)
^{46}V	3049.6(16)	0.97386(49)(14)(19)
^{50}Mn	3044.4(12)	0.97487(45)(14)(19)
^{54}Co	3047.6(15)	0.97490(54)(14)(19)
Weighted Ave.		0.97418(13)(14)(19)

Misura di V_{ub} e V_{cb}

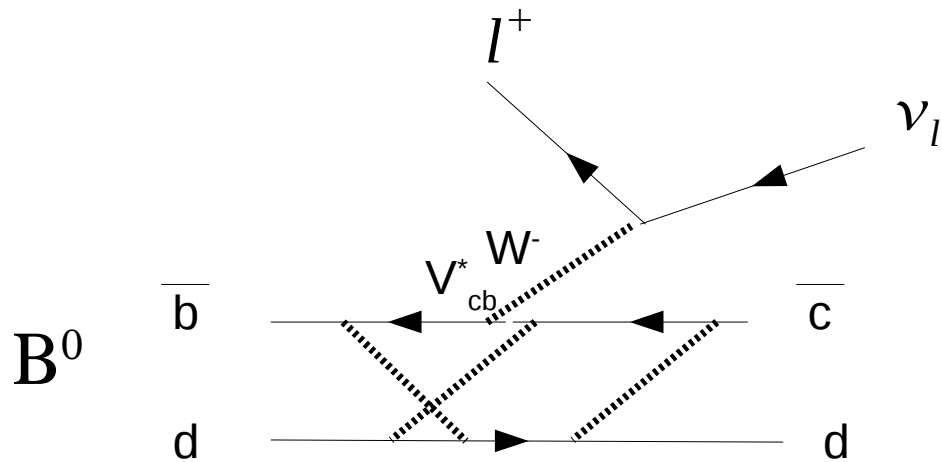
Usiamo i decadimenti semileptonici:



Adroni senza sapore.

A differenza dei K possiamo produrre qualunque mesone a causa dell'alta energia del quark u . La ricerca in canali esclusivi dipende fortemente dalle funzioni di frammentazione in QCD. Meglio il decadimento inclusivo: guardo solo lo stato leptonic.

tuttavia se guardo solo lo stato inclusivo non distinguo u da c



Poiche' $V_{cb} \sim 10 V_{ub}$ la rate in charm e' 100 volte maggiore. Quindi non ho contaminazione da u .

Se voglio misurare V_{ub} devo sopprimere il charm. $m_D > 1$ GeV, quindi leptoni di alto impulso solo con u . Tagli in $E_l > 2$ GeV.

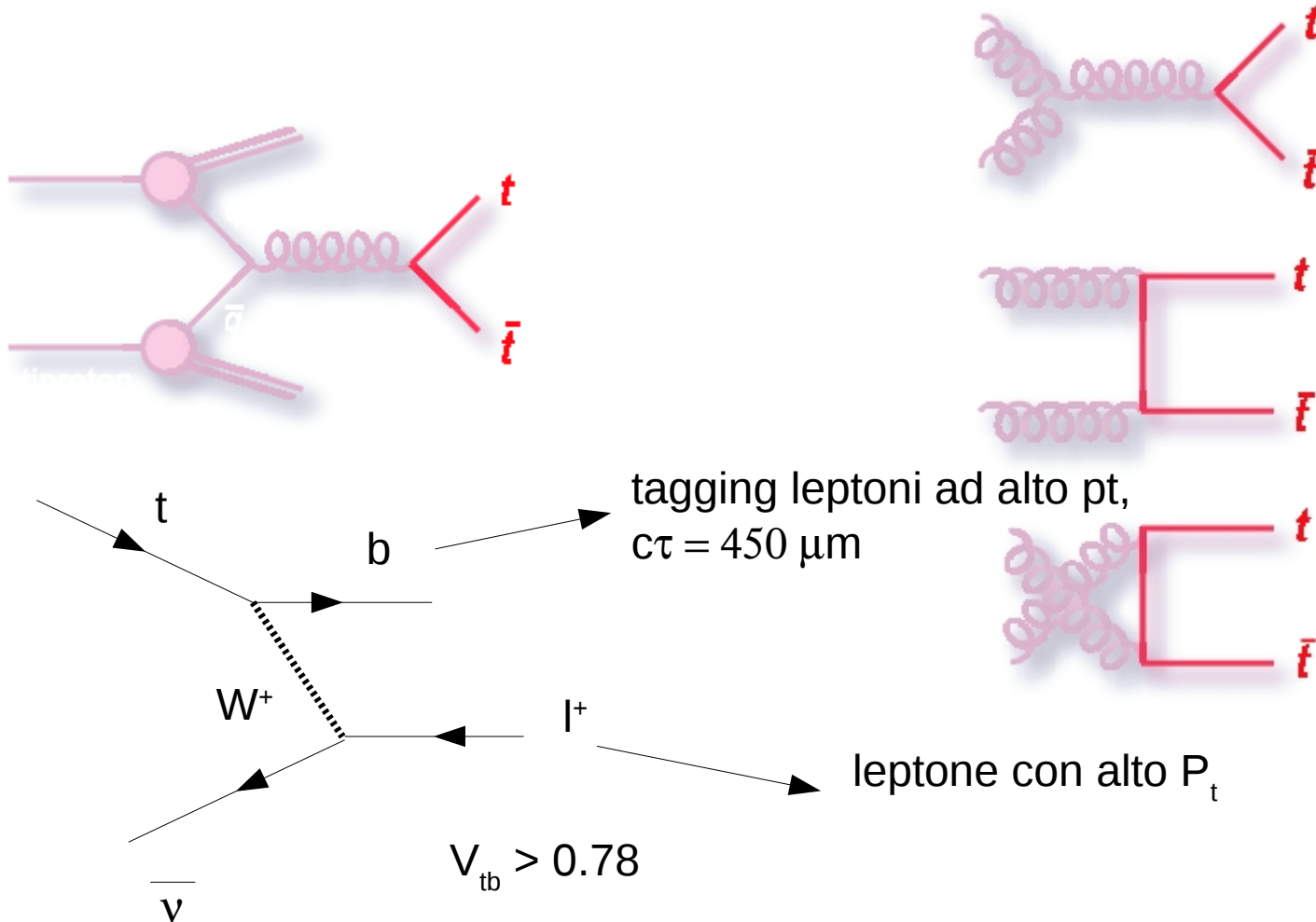
Tuttavia devo conoscere le funzioni spettrali.

$$|V_{ub}| = (3.93 \pm 0.36) \times 10^{-3}$$

$$|V_{cb}| = (41.2 \pm 1.1) \times 10^{-3}$$

Misura di V_{tb}

Il quark top decade prima di adronizzare. Quindi non esistono mesoni con top.
 Il top e' al momento studiatosolo a Tevatron (CDF e D0) $m_t = 170$ GeV, energia necessaria per produrre una coppia $t\bar{t}$ 340 GeV, LHC a breve

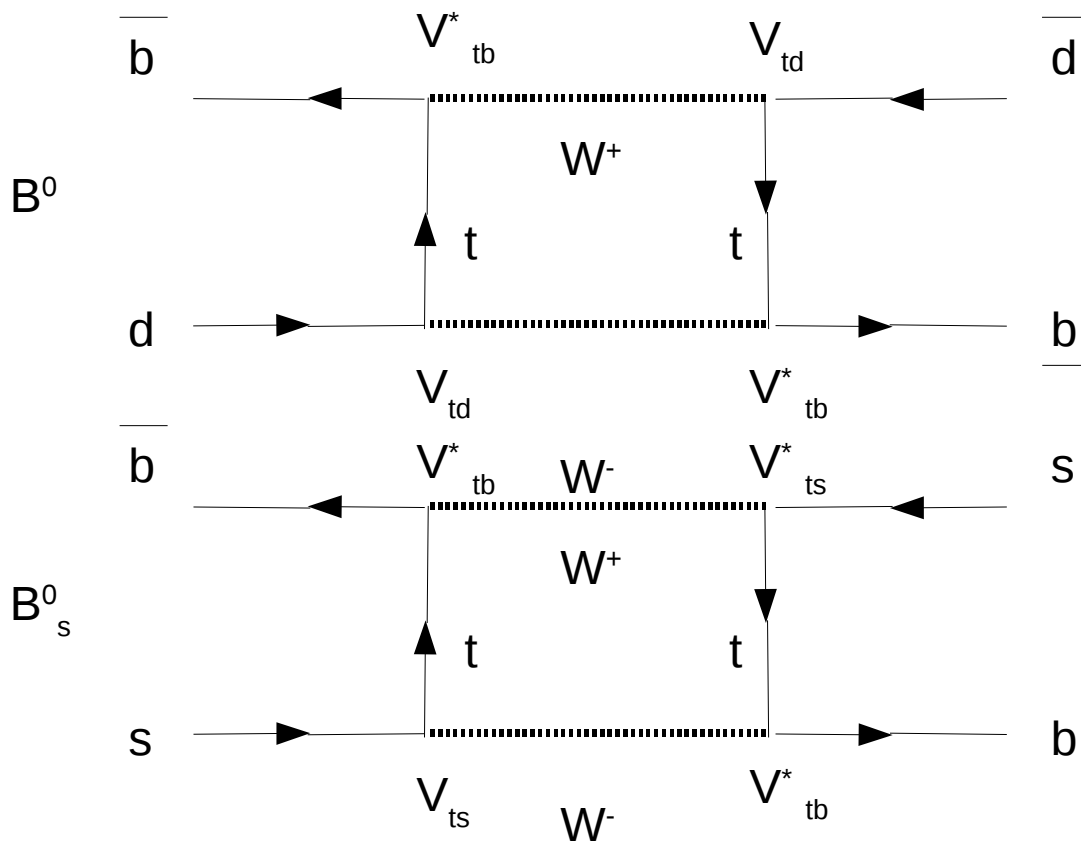


Misura di V_{td} e V_{ts}

Tagging impossibile. K e π prodotti nei jets.

$$\Delta m_b = \langle B_L | H | B_L \rangle - \langle B_H | H | B_H \rangle = \frac{1}{2} (\langle B^0 | - \langle \bar{B}^0 |) H (|B^0 \rangle - |\bar{B}^0 \rangle) - \frac{1}{2} (\langle B^0 | + \langle \bar{B}^0 |) H (|B^0 \rangle + |\bar{B}^0 \rangle)$$

$$= \frac{1}{2} (\langle B^0 | - \langle \bar{B}^0 |) H (|B^0 \rangle - |\bar{B}^0 \rangle) - \frac{1}{2} (\langle B^0 | + \langle \bar{B}^0 |) H (|B^0 \rangle + |\bar{B}^0 \rangle) = -\langle B^0 | H | \bar{B}^0 \rangle - \langle \bar{B}^0 | H | B^0 \rangle$$



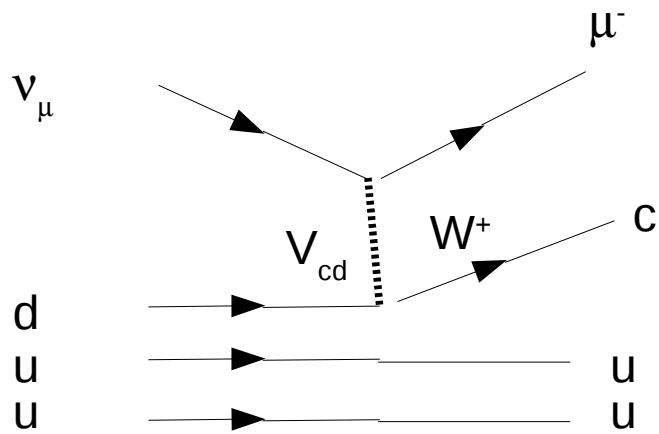
assumo $|V_{tb}| = 1$
 $V_{tb}^2 + V_{cb}^2 + V_{ub}^2 = 1$

$\sim |V_{td}| = (8.1 \pm 0.6) \times 10^{-3}$

$\sim |V_{ts}| = (38.7 \pm 2.3) \times 10^{-3}$

$|V_{td}/V_{ts}| = 0.209 \pm 0.001 \pm 0.006$

Misura di V_{cd}



Frammentazione in adroni D decadimento in μ^+ nei pressi del vertici.

Segnatura sperimentale:
eventi a due muoni di carica opposta (dimuoni in gergo).

$$\sigma(\nu_\mu \rightarrow \mu^+ \mu^-) |V_{cd}|^2 d$$